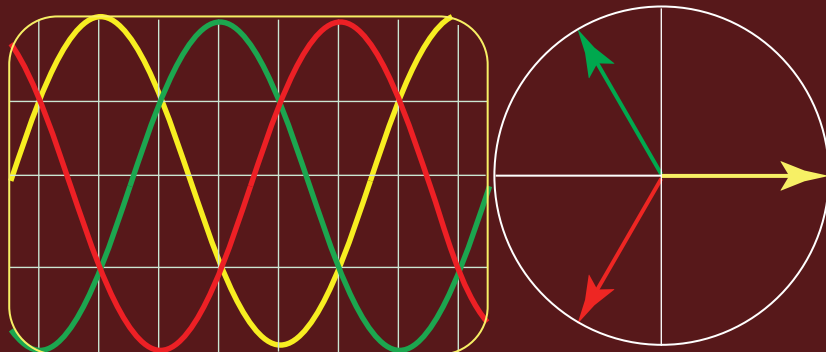
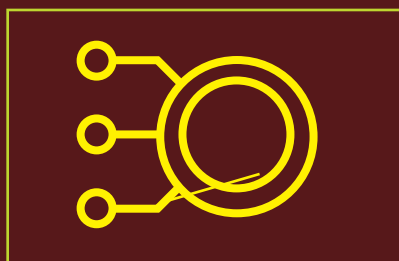


S.Masiokas

Elektrotechnika



11



Asinchroninės
mašinos

VADOVĖLIS
AUKŠTOSIOMS
MOKYKLOMS

11.1. Statoriaus magnetinis laukas 314

- 11.1.1. Trifazis sukamasis magnetinis laukas / 314**
 - 11.1.2. Dvifazis sukamasis magnetinis laukas / 317**
 - 11.1.3. Vienfazis pulsujantis magnetinis laukas / 317**
-

11.2. Asinchroninio variklio veikimo principas ir sandara 318

- 11.2.1. Variklio režimas / 318**
 - 11.2.2. Stabdymo režimas / 319**
 - 11.2.3. Statorius / 320**
 - 11.2.4. Rotorius / 320**
-

11.3. Elektromagnetiniai reiškiniai asinchroniniame variklyje 321

- 11.3.1. Statoriaus ir rotoriaus apvijų EVJ / 322**
 - 11.3.2. Statoriaus ir rotoriaus apvijų varžos / 323**
 - 11.3.3. Statoriaus ir rotoriaus grandinių atstojamosios schemas ir vektorinės diagramos / 324**
 - 11.3.4. Variklio magnetinis laukas ir srovių vektorinė diagrama / 325**
 - 11.3.5. Variklio atstojamoji schema / 327**
-

11.4. Asinchroninio variklio nuostoliai ir mechaninė charakteristika 327

- 11.4.1. Energetinė diagrama / 327**
 - 11.4.2. Sukimo momentas / 328**
 - 11.4.3. Variklio su trumpai sujungtu rotoriumi mechaninė charakteristika / 330**
 - 11.4.4. Variklio su faziniu rotoriumi mechaninė charakteristika / 332**
-

11.5. Asinchroninio variklio įvairios charakteristikos ir greičio reguliavimas 333

- 11.5.1. Paso ir katalogo duomenys / 333**
 - 11.5.2. Darbo charakteristikos / 335**
 - 11.5.3. Samprata apie greičio reguliavimą / 336**
-

11.6. Asinchroninių variklių paleidimas 337

- 11.6.1. Tiesioginis prijungimas prie tinklo / 337**
 - 11.6.2. Statoriaus apvijos įtampos mažinimas / 338**
 - 11.6.3. Pagerintų paleidimo savybių varikliai / 339**
 - 11.6.4. Variklis su faziniu rotoriumi / 340**
-

11.7. Vienfaziai asinchroniniai varikliai 341

- 11.7.1. Variklis su vienfaze apvija / 341**
 - 11.7.2. Variklis su dvifaze apvija / 342**
 - 11.7.3. Trifazis variklis vienfaziame tinkle / 343**
-

Kontroliniai klausimai ir užduotys 343

Tai kintamosios srovės mašinos, kurių veikimo ypatumą nusako pats pavadinimas. **Statoriuje sudaromas sukamasis magnetinis laukas. Rotorius sukasi greičiu, kuris nelygus magnetinio lauko greičiui, todėl sakoma, kad rotorius sukasi nesynchroniškai (arba asynchroniškai).**

Kaip ir visos elektros mašinos, asynchroninės gali dirbti **variklio** ir **generatoriaus** režimu. Kadangi asynchroniniai generatoriai dėl savo ypatybių naudojami labai retai, nagrinėsime tik asynchroninių variklių savybes ir charakteristikas.

Plačiausiai naudojami **asynchroniniai trifaziniai varikliai**, kurie šiuo metu sudaro daugiau kaip 90 % visų pramoneje ir žemės ūkyje naudojamų variklių. Gaminama ir naujodama nemažai asynchroninių variklių, jungiamų į vienfazį tinklą, bet jų galia paprastai ne didesnė kaip 500 W. Vienfaziniai asynchroniniai varikliai yra ne tokie ekonomiški kaip tos pačios galios trifaziniai.

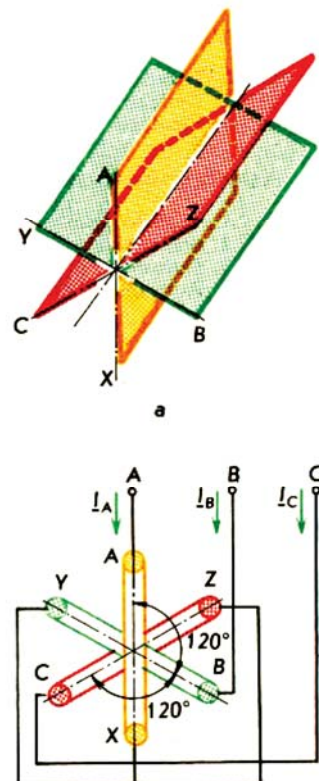
Palyginti su nuolatinės srovės mašinomis asynchroninių variklių sandara yra gana paprasta, jie patikimi ir ekonomiški. Svarbiausias jų trūkumas tas, kad yra sudėtingiau pakeisti jų darbo charakteristikas, pavyzdžiui, reguliuoti greitį.

11.1

Statoriaus magnetinis laukas

11.1.1. Trifazis sukamasis magnetinis laukas. Tokiam magnetiniui laukui gauti galime panaudoti apviją, kurią sudaro trys vienodos ritės, išdėstyti taip, kad tarp jų ašių būtų 120° kampai (11.1 pav.). Paprastumo dėlei tarkime, kad ši apvija yra neferomagnetinėje aplinkoje – ore. Prijungus tokią apviją prie trifazio tinklo, jos ritėmis teka trys lygios, bet besiskiriančios 120° ($2\pi/3$) faze srovės: $i_A = I_m \sin \omega t$; $i_B = I_m \sin(\omega t - 2\pi/3)$; $i_C = -I_m \sin(\omega t - 4\pi/3)$ (11.2 pav., a). Kiekviena srovė, tekëdama rite, sukuria apie ją kintamajį magnetinį lauką, o visi kartu šie laukai sudaro visos apvijos suminį magnetinį lauką.

Norėdami pavaizduoti suminį magnetinį lauką, pasirinksimos kelis laiko momentus ir sužymėsime kiekvienos ritės srovės bei magnetinio lauko linijų kryptis. Kaip žinome (žr. 3.1.4), srovės kryptis laikoma teigiamą, jei srovė teka iš ritės pradžios (A, B, C) į jos pabaigą (X, Y, Z). (11.2 pav., b, c ir d kryželiu pažymėta srovė, kuri teka „nuo mūsų“, o taškeliu – „i mūs“.)



11.1 pav. Asynchroninio variklio statoriaus apvijos modelis (a) ir jungimo žvaigžde prie trifazio tinklo schema (b)

Pirmuoju laiko momentu t_1 (11.2 pav., a) $i_A > 0, i_B < 0, i_C < 0$, todėl jų kryptys yra tokios: iš A į X, iš Y į B ir iš Z į C. Antruoju laiko momentu t_2 : $i_A > 0, i_B > 0, i_C < 0$; jų kryptys: $A \rightarrow X, B \rightarrow Y, Z \rightarrow C$. Trečiuoju laiko momentu t_3 : $i_A < 0, i_B > 0, i_C < 0$; jų kryptys: $X \rightarrow A, B \rightarrow Y, Z \rightarrow C$. Pritaikę dešininkio sraigto taisykle, nubraižome magnetinio lauko linijas, gaubiančias apvijos laideninkus. Kaip matome, visų trijų ričių magnetinių laukų linijos apvijos vidinėje erdvėje yra tos pačios krypties. Gaunamas vienos polių poros magnetinis laukas, kurio padėtis įvairiais laiko momentais yra kitokia.

Kadangi kiekvienos ritės MVJ yra kintamoji, apvijos magnetinio lauko indukciją \vec{B} galime pavaizduoti, geometriškai sudėję \vec{B}_A , \vec{B}_B ir \vec{B}_C . Magnetinė indukcija yra proporcinga magnetiniams srautui, o pastarasis – jų kuriančiai srovei. Tai reiškia, kad bet kuriuo laiko momentu kiekvienos ritės magnetinės indukcijos momentinė vertė yra proporcinga rite tekančios srovės momentinei vertei.

Prisiminę svarbią simetrinio trifazio imtuvo srovės savybę: $i_A + i_B + i_C = 0$, galime apskaičiuoti kiekvienos ritės magnetinę indukciją B_A , B_B ir B_C ir nubraižyti jų vektorius.

Laiko momentu t_1 : $i_A = -i_B - i_C$. Kadangi $i_A = I_m$, o $i_B = i_C = I_m/2$ (11.2 pav., a), tai $|i_B| = |i_C| = I_m/2$. Iš čia: $B_A(t_1) = B_m$, $B_B(t_1) = B_C(t_1) = B_m/2$. Magnetinės indukcijos vektoriai (11.2 pav., b) bražomi kiekvienos ritės ašyje. Jų kryptys gaunamos priklausomai nuo srovės kiekvienoje ritėje krypties, taikant dešininkio sraigto taisykľę. \vec{B}_B ir \vec{B}_C ilgiai yra lygūs pusei pasirinktojo \vec{B}_A vektoriaus ilgio.

Visos apvijos magnetinė indukcija

$$\vec{B}(t) = \vec{B}_A(t) + \vec{B}_B(t) + \vec{B}_C(t). \quad (11.1)$$

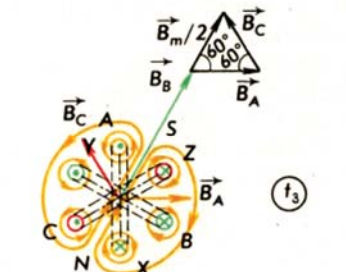
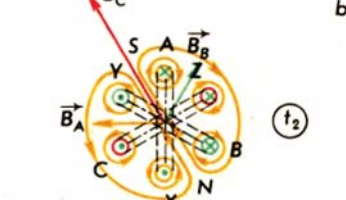
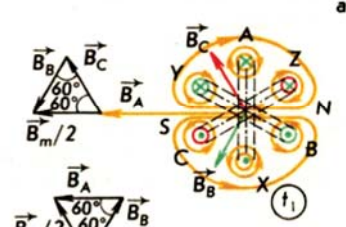
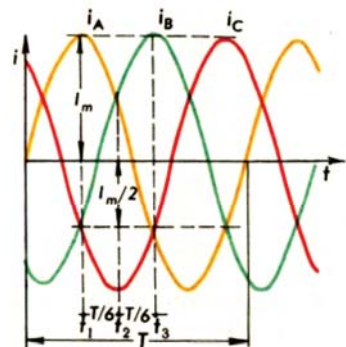
Geometriškai apskaičiavę jos modulį gauname:

$$B = 1,5B_m. \quad (11.2)$$

Panašiai yra bražomi magnetinės indukcijos vektoriai kitais dviem laiko momentais (11.2 pav., c ir d). **Laiko momentu t_2 :** $i_A = i_B = I_m/2, |i_C| = I_m$, todėl $B_A(t_2) = B_B(t_2) = B_m/2, B_C(t_2) = B_m$. **Laiko momentu t_3 :** $|i_A| = |i_C| = I_m/2, i_B = I_m$, todėl $B_A(t_3) = B_C(t_3) = B_m/2, B_B(t_3) = B_m$.

Palyginę 11.2 pav. gautų magnetinių laukų linijų bei indukcijos vektorių padėtį, galime pastebėti tokias sudaryto suminio magnetinio lauko ypatybes.

1. Kai trifazę apviją sudaro trys ritės, išdėstyotos erdvėje 120° kampais, gaunamas vienos polių poros ($p=1$) suka-masis magnetinis laukas.



11.2 pav. Statoriaus apvijos ričių srovės (a), magnetiniai laukai ir magnetinės indukcijos vektoriai laiko momentais t_1 , t_2 ir t_3 (b, c, d)

2. Gauto magnetinio lauko indukcija kiekvienu laiko momentu $B=1,5B_m=\text{const}$.

3. Statoriaus magnetinis laukas sukasi tos ritės, kurioje srovė atsilieka faze, kryptimi, kitaip tariant, tiesioginės fazų sekos kryptimi: $A \rightarrow B \rightarrow C$.

Magnetinio lauko sukimosi kryptį galima pakeisti sukeitus apvijos ričių prijungimo prie tinklo seką, t. y. pakeitus srovių fazų seką. **Tam terciaisia sukeisti vietomis bet kurių dviejų ričių pradžias**, pavyzdžiui, A su B , B su C ar A su C (11.3 pav.).

4. Magnetinis laukas sukasi pastoviu kampiniu greičiu $\omega_0 = \alpha/t$. Per nagrinėtą laikotarpį $t=t_3-t_1=T/3$ laukas pasisuko kampu $\alpha=2\pi/3$. Padaliję posūkio kampą iš laiko gauname

$$\omega_0 = 2\pi/T = 2\pi f; \quad (11.3)$$

čia f – statoriaus apvijos srovių (tinklo) dažnis.

Prisiminę, kad $\omega_0=2\pi n_0$, galime parašyti, kad vienos polių poros magnetinio lauko sūkių dažnis

$$n_0 = f. \quad (11.4)$$

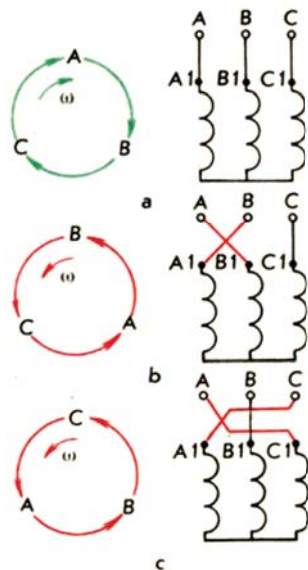
Kai tinklo dažnis pramoninis, magnetinio lauko sūkių dažnis $n_0 = 50$ r/s.

Trifazis **dviejų polių porų** ($p=2$) magnetinis laukas sudaromas panaudojant šešių ričių apviją (11.4 pav.). Kadangi ričių yra dvigubai daugiau, gaunami dvigubai mažesni kampai tarp jų pradžių (60°) ir tarp kiekvienos ritės pradžios ir pabaigos (90°). Dviejų polių porų magnetinį lauką galima gauti, kai kiekvienu apvijos fazė sudaryta iš dviejų, pavyzdžiui, nuosekliai sujungtų ričių. Sužymėję ritėmis tekančių srovių kryptis pagal 11.2 pav., a, kuriuo nors laiko momentu (pavyzdžiui, t_1 ir t_2) ir nubraižę magnetinio lauko linijas, pamatysime, kad gautas magnetinis laukas turi dvi polių poras (11.4 pav., c ir d).

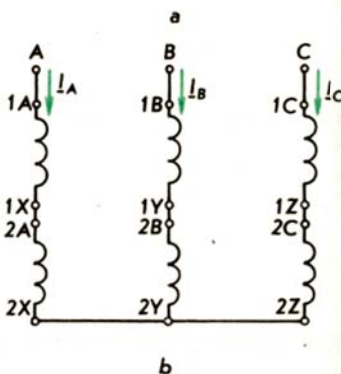
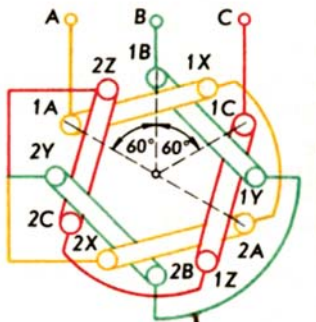
Taikant ankstesnę metodiką, galima išsikinti, kad: 1) tokis magnetinis laukas sukasi taip pat fazų sekos $A \rightarrow B \rightarrow C$ kryptimi; 2) jo kampinis greitis ir sūkių dažnis yra dvigubai mažesni: $\omega_0 = 2\pi f/2$; $n_0 = f/2$.

Pagaminus kiekvieną apvijos fazę iš dar daugiau ričių, galima sudaryti magnetinius laukus, kurie turi polių porų $p=3, 4, 5$ ir t. t. Bendruoju atveju apvijos ričių skaičius turi būti lygus $3p$, o kampai tarp jų pradžių – $360^\circ/(3p)$. **Magnetinio lauko kampinis greitis**

$$\omega_0 = 2\pi f/p, \quad (11.5)$$



11.3 pav. Statoriaus magnetinio lauko sukimosi kryptis (a) ir jos pakeitimas priešinga (b, c)



sūkių dažnis

$$n_0 = f/p.$$

(11.6)

Praktikoje sūkių dažnį įprasta matuoti sūkiai per minutę (r/min). Tuo atveju jam skaičiuoti taikomas koeficientas:

$$n_0 = 60f/p.$$

(11.7)

Magnetinio lauko sūkių dažnis dar vadinamas synchroniniu. Didžiausias dažnis, kuriuo gali suktis magnetinis laukas, kai apvija įjungiamą į 50 Hz tinklą, yra 50 r/s, t. y. 3000 r/min (11.1 lentelė).

11.1.2. Dvifazis sukamas magnetinis laukas. Šiam magnetiniui laukui gauti reikia apviją sudaryti iš dviejų, geriausia – statmenų, ričių, kuriose srovės skiriasi 90° fazė (11.5 pav.).

Pasirinkę tris laiko momentus, sužymėsime srovės kryptis apvijoje. Laiko momentu t_1 : $i_1 > 0, i_2 = 0; t_2, i_1 = 0; i_2 > 0; t_3, i_1 < 0; i_2 = 0$. Kadangi magnetinė indukcija proporcinga sroviui, gauname: $i_1 - B_1(t_1) = B_m; B_2(t_1) = 0; t_2 - B_1(t_2) = 0; B_2(t_2) = B_m; t_3 - B_1(t_3) = B_m; B_2(t_3) = 0$. Iš vektorių padėčių (11.5 pav., c–e) matome, kad gautas pastovios magnetinės indukcijos $B = B_m = \text{const}$ vienos polių poros ($p=1$) magnetinis laukas sukasi. Jis susikilia link tos ritės pradžios, kurioje srovės fazė atsilieka. Laikydami tokią srovės sistemą dvifazę, galime sakyti, kad magnetinis laukas sukasi srovės fazų sekos kryptimi.

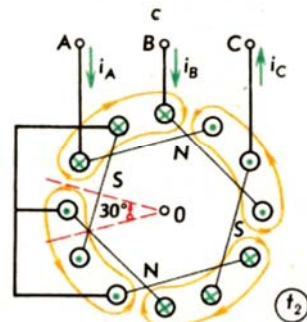
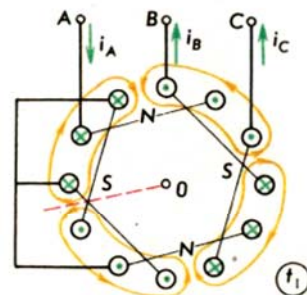
Norėdami pakeisti strauto sukimosi kryptį, turime pakeisti fazų seką. Praktiškai galima sukeisti bet kurios ritės pradžią su galu. Pavyzdžiu, sukeitus I ir I' , srovės i_1 fazė pasikeičia priešinga. Srovė i_1 atsilieka 90° kampu nuo srovės i_2 , ir laukas sukasi priešinga kryptimi.

Per laikotarpį $t = t_3 - t_1 = T/2$ magnetinis laukas pasisuka 180° kampu, todėl per visą periodą pasisuka 360°, ir jo **sūkių dažnį n_0 galima apskaičiuoti (kaip ir trifazio vienos polių poros)** iš (11.4) lygbybės.

Norint gauti didesnio polių porų p skaičiaus magnetinių laukų, reikia statoriaus apviją sudaryti iš $2p$ ričių, kurios išdėstomos 360°/(4p) kampais. Magnetinio lauko sūkių dažnis apskaičiuojamas iš (11.6) ir (11.7) lygbių (žr. 11.1 lentelę).

11.1.3. Vienfazis pulsujantis magnetinis laukas. Jis sudaromas vienos ritės apvijoje, įjungus ją į vienfazį tinklą (11.6 pav.). Rite teka sinusinė srovė ir surukia apvijoje kintamajį magnetinį lauką, kurio indukcija ($B \sim i$): $B(t) = B_m \sin \omega t$. Tokio lauko indukcija pusę periodo yra vienos, o kitą pusę periodo – kitos krypties. **Magnetinis laukas nesisuka, bet periodiškai keičia dydį ir kryptį – pulsuoja.**

Tokį vienfazį magnetinį lauką galima iškaidyti į du sukamuosius magnetinius laukus, kurių indukcijos yra $B_1 = B_2 = B_m/2 = \text{const}$. **Laukai sukasi vienodu kampiniu greičiu ω_0 , bet priešingomis kryptimis.** Kiekvie- nu laiko momentu $\vec{B}_1(t) + \vec{B}_2(t) = \vec{B}(t)$ (žr. 11.6 pav., c–f). Pavyzdžiu, kai $t_0 = 0$, abiejų sukamųjų laukų magnetinės indukcijos yra priešingų krypčių, todėl $\vec{B} = \vec{B}_1 - \vec{B}_2 = 0$. Laiko momentu t_1 (po laiko $T/8$) \vec{B}_1 ir \vec{B}_2 vektoriai pasisukę kampu $\alpha = 360^\circ/8 = 45^\circ$, todėl $B(t_1) = (B_m/2) \cos 45^\circ = B_m/\sqrt{2}$.



11.4 pav. Statoriaus apvijos šešių ričių išdėstymas (a), jungimo schema (b), magnetinis laukas laiko momentais t_1 ir t_2 (c ir d)

11.1 lentelė. Magnetinio lauko sūkių (synchroninis) dažnis, kai $f = 50$ Hz ir polių porų skaičius lygus p

p	n_0 r/s	n_0 r/min
1	50,00	3000
2	25,00	1500
3	16,6(6)	1000
4	12,50	750
5	10,00	600
6	8,3(3)	500
8	6,25	375
10	5,00	300
30	1,6(6)	100
50	1,00	60

Per vieną srovės periodą abu magnetiniai laukai apsisuka vieną kartą, todėl jų kampinis greitis ω_0 ir sūkių dažnis n_0 apskaičiuojami iš (11.3) ir (11.4) lygybių.

11.2

Asinchroninio variklio veikimo principas ir sandara

11.2.1. Variklio režimas. Tarkime, kad turime magnetinį lauką, kurio indukcija yra \vec{B} ir kuris sukasi dažniu n_0 , pavyzdžiu, laikrodžio rodyklės judėjimo kryptimi. Šiame magnetiniame lauke yra du laidininkai, kurie sujungti taip, kad susidaro uždara grandinė (11.7 pav.).

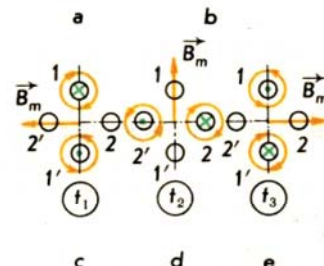
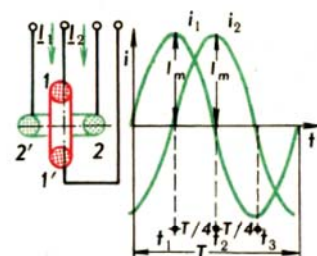
Sukamasis magnetinis laukas kerta laidininkus, todėl juose indukuojamos EVJ. EVJ kryptis nusakoma dešiniosios rankos taisykle (žr. 10.1.3). Šiuo atveju svarbu tai, kad **laidininkai nejudą, o juda magnetinis laukas**. Dėl to dešiniosios rankos nykštį reikia nukreipti taip, kad jis rodytų laidininko santykinio (relatyviojo) judėjimo kryptį. Ta kryptis yra priešinga magnetinio lauko judėjimo krypciai. Gauname, kad EVJ kryptis viršutiniame laidininke yra „i mus“, o apatiname – „nuo mūsų“.

Kadangi laidininkų grandinė yra uždara, tai ja teka srovė, kurios kryptis tokia pat kaip ją sukūrusių indukuotų EVJ. Turime laidininkus, kuriais teka srovė ir kurie yra magnetiniame lauke. **Juos veikia elektromagnetinės jėgos, kurių kryptis nusakoma kairiosios rankos taisykle** (žr. 10.1.3). Matome, kad šios jėgos stengiasi sukti laidininkus magnetinio lauko sukimosi kryptimi.

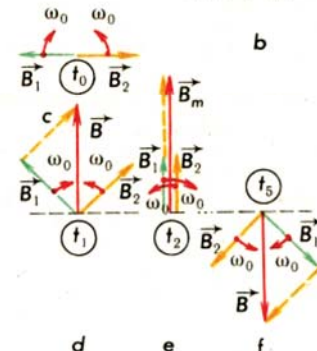
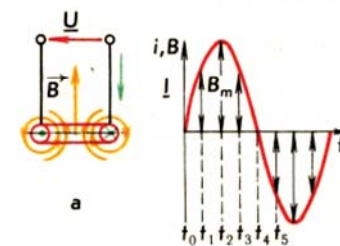
Tarkime, kad laidininkai gali suktis, ir pažymėkime jų sūkių dažnį n . Tik tuo atveju, kai **skirtumas $\Delta n = n_0 - n > 0$** , t. y. $n < n_0$, santykinio laidininkų judėjimo kryptis išlieka tokia, kokia parodyta 11.7 pav., a, ir **laidininkus veikia juos sukančios elektromagnetinės jėgos**.

Jei dėl kokių nors išorinių priežasčių, pavyzdžiu, suteikus laidininkams trumpą mechaninį impulsą jų sukimosi kryptimi, **lauko ir laidininkų sūkių dažnis susitygintų**, laidininkai lauko atžvilgiu nejudėtų. Kai $n = n_0$, $\Delta n = n_0 - n = 0$, laidininkuose nebūtų indukuojamos EVJ, netekėtų srovė ir išnyktų juos sukančios jėgos. Dėl to laidininkų sūkių dažnis sumazėtų. Kai tik atsiranda skirtumas $\Delta n = n_0 - n > 0$, laidininkus vėl ima veikti elektromagnetinės jėgos, sudarančios elektromagnetinį sukimo momentą.

Matome, kad laidininkai, esantys sukamajame magnetiniame lauke, varomi elektromagnetinio momento, gali



11.5 pav. Statoriaus dviejų ričių apvijos schema (a), srovės (b) ir magnetinės indukcijos vektorius laiko momentais t_1 , t_2 , t_3 , (c, d, e)



11.6 pav. Vienafazės apvijos jungimo schema (a), srovė bei $B=f(t)$ (b) ir magnetinės indukcijos vektorių išvairiais laiko momentais (c, d, e, f)

suktis tik asinchroniškai, t. y. atsilikdami nuo magnetinio lauko. Dėl to asinchroninės mašinos, dirbančios variklio režimu, rotoriaus sūkių dažnis yra mažesnis nei magnetinio lauko: $n < n_0$.

Rotoriaus atsilikimas nuo statoriaus magnetinio lauko įvertinamas santykiniu dažnių skirtumu, kuris vadinamas slydimu:

$$s = (n_0 - n) / n_0. \quad (11.8)$$

Slydimą galima apskaičiuoti santykiniais vienetais arba, padauginus (11.8) lygybės skaitiklį iš šimto, procentais.

Asinchroninės mašinos, dirbančios variklio režimu, slydimas $1 \geq s \geq 0$. Paleidimo metu, kai magnetinis laukas sukas, o rotorius dar nesisuka, $n=0$, slydimas $s_k=1$. Rotoriui išsukant, $n \rightarrow n_0$, o $s \rightarrow 0$. **Vardinis asinchroninių variklių slydimas $s_N = 0,01 - 0,07$.** Paprastumo dėlei skaičiuodami apytiksliai laikysime $s_N \approx 0,05$.

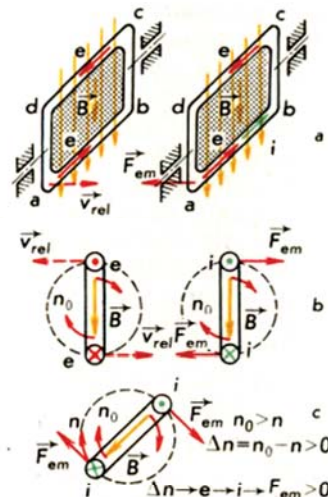
11.2.2. Stabdymo režimas. Yra atvejų, kai variklio rotoriuje veikiantis elektromagnetinis momentas yra priešingas jo rotoriaus sukimo kryptei. Tuomet variklis veikia kaip stabdys, t. y. stabdymo režimu.

Tarkime, kad uždara laidininkų grandinė yra sukamajame magnetiniame lauke. Ją sukame to lauko sukimosi kryptimi. Jei sukame magnetinio lauko greičiu ($n=n_0$, $s=0$), laidininkuose EVJ neindukuojamos ir elektromagnetinių jėgų jų neveikia (11.8 pav., a). Jei laidininkus sukame greičiu, didesniu negu sukas laukas ($n > n_0$), laidininkai magnetinį lauką kerta. Juose indukuojamos EVJ, teka srovė ir atsiranda juos veikiančios elektromagnetinės jėgos. Santykinio laidininkų judėjimo kryptis sutampa su tikraja. Pažymėję indukuotų EVJ, srovės ir elektromagnetinių jėgų kryptis, matome (11.8 pav., b), kad laidininkus veikia jų judėjimą stabdanties elektromagnetinis momentas. Toks variklio režimas vadinamas **generatorinio stabdymo** režimu, nes variklis tiekia energiją šaltiniui, prie kurio prijungta jo statoriaus apvija. Variklio rotorius slydimas $s < 0$, nes $n > n_0$ (žr. (11.8) lygti).

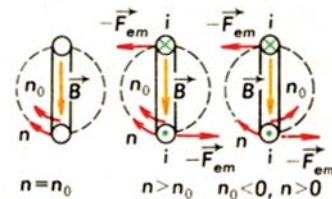
Variklis dirba kaip **stabdys ir tuo atveju, kai jo rotorius yra sukamas priešinga kryptimi** negu sukas statoriaus magnetinis laukas. Tarkime, kad variklio darbo metu staiga pakeitėme lauko sukimosi kryptį (11.8 pav., c). Variklio rotorius ir toliau sukas ankstesnes kryptimi. Laidininkai kerta magnetinį lauką, ir juose indukuojamos EVJ. Laidininkų santykinio judėjimo kryptis lauko atžvilgiu yra tokia pat kaip jų tikrojo judėjimo kryptis. Pažymėję EVJ, srovės ir elektromagnetinių jėgų kryptis, gauname, kad elektromagnetinio momento kryptis yra priešinga kryptimi negu sukas magnetinis laukas. Variklio elektromagnetinis momentas tam priešinasi, t. y. stabdo.

Panašiai atsitinka, kai variklio rotorius veikia pasiprieseinimo momentas, kuris yra didesnis už variklio elektromagnetinį momentą. Tuo atveju darbo mašina, pavyzdžiui, krovinių keltuvas, suka rotoriu priešinė kryptimi negu sukas magnetinis laukas. Variklio elektromagnetinis momentas tam priešinasi, t. y. stabdo.

Toks režimas, kai variklio rotorius ir magnetinio lauko sukimosi kryptys yra priešingos, vadinamas **priešinio jungimo stabdymo** režimu. Sūkių dažnių skirtumas $\Delta n = -n_0 - n$, todėl rotoriaus slydimas $s > 1$.



11.7 pav. Schema asinchroninio variklio veikimo principui aiškinanti: rotoriaus apvijos EVJ kryptis (a), srovės ir laidininkus veikiančių elektromagnetinių jėgų kryptys (b), asinchroniškai besisukančio rotoriaus judėjimo ir elektromagnetinių jėgų kryptys (c)



$$\begin{array}{ll} \Delta n = n_0 - n = 0 & \Delta n = n_0 - n < 0 \\ \Delta n = n_0 - n < 0 & \Delta n = n_0 - n < 0 \\ e = 0 & e < 0 & e < 0 \\ i = 0 & i < 0 & i < 0 \\ F_{em} = 0 & F_{em} < 0 & F_{em} < 0 \\ a & b & c \end{array}$$

11.8 pav. Asinchroninio variklio rotoriaus apvijos pjūvio schemas: a – laidininkų neveikia elektromagnetinės jėgos; b – mašina veikia generatorinio ir c – priešinio jungimo stabdymo režimu

11.2.3. Statorius. Asinchroninio variklio statorius (11.9 pav.) yra jo nejudamoji dalis, kurioje sudaromas suka-masis magnetinis laukas. Tai feromagnetinės medžiagos cilindras su išilginiais grioveliais vidinėje pusėje. Sūku-rinėms srovėms sumažinti statoriaus magnetolaidis surenkamas iš oksiduoto paviršiaus elektrotechninio plieno lakštų. I statoriaus griovelius klojama tolygiai paskir-styta vario ar aluminio laidų apvija.

Statoriaus apvijos ričių išvadai prijungiami prie variklio skydelio gnybtų. Ričių pradžios (srovių fazų sekos kryptimi) žymimos lotyniškomis raidėmis ir skaitmenimis U_1, V_1, W_1 , o atitinkami galai – U_2, V_2, W_2^* . (Senesniu maši-nu, pagamintu Tarybų Sajungoje, – rusiškomis raidėmis ir skaitmenimis: pradžios – C_1, C_2, C_3 ; galai – C_4, C_5, C_6).

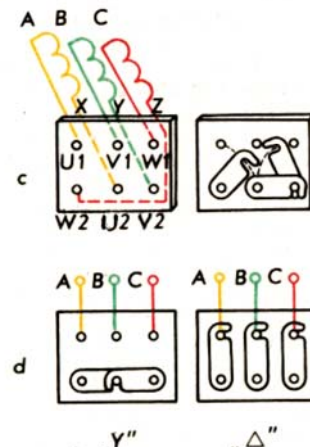
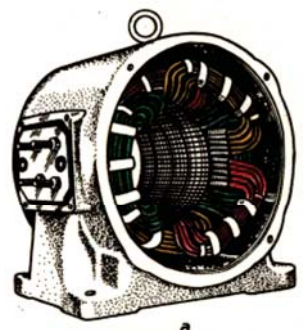
Trifazio variklio statoriaus apvijos mažiausias ričių skai-čius gali būti trys. Paprastai tokios apvijos išvadai variklio skydelyje išdėstomi tam tikra tvarka (žr. 11.9 pav., d). Kaip ir visi trifaziniai imtuvai, statoriaus apvija gali būti jungiama į tinklą žvaigžde arba trikampiu. Jungiant žvaigžde, apvijos ričių galai X, Y, Z sujungiami į vieną neutralųjį mazgą, o pradžios – A, B, C – prijungiamos prie trifazio tinklo (galima ir atvirkšciai). Trikampiu išvadai sujungiami taip: A su Z , B su X ir C su Y ; gautos išvadų poros prijungiamos prie trifazio tinklo. Kaip matome, išvadai specialiai išdėsto-mi taip, kad juos būtų patogu sujungti trikampiu.

Kai statoriaus apvija turi daugiau ričių (6, 9 ir t. t.), jų galai išvedami į gnybtų skydelį tik tuo atveju, jei reikia juos perjunginėti (pavyzdžiui, variklio sūkių dažnui reguliuoti). Kai perjunginėti nebūtina, visos apvijos dalys sujungiamos mašinos viduje, o gnybtų skydelyje yra tik trys poros statoriaus apvijos išvadų.

11.2.4. Rotorius. Rotorius yra feromagnetinės medžiagos cilindras, kurio išoriniuose išilginiuose grioveliuose yra ro-tooriaus apvija. Rotoriaus magnetolaidis taip pat surenka-mas iš oksiduotų dantytų elektrotechninio plieno lakštų.

Rotoriaus sandara gali būti dvejopa. Paprastesnis yra trumpai sujungtas rotorius (11.10 pav.). Jo narvelio tipo apvija sudaryta iš varinių ar alumininių neizoliuotų strypų, kurie iš abiejų rotoriaus pusų sujungiami žiedais. Tie strypai yra įveriami į rotoriaus griovelius arba išlie-jami, užpilant rotoriaus griovelius skystu aluminiu ar siluminu (Si ir Al lydiniu).

* Vadovėlyje ir toliau apvijų išvadus (kaip ir visų trifazinių imtuvų bei šaltinių) žmësime $A - X, B - Y, C - Z$, nes toks žmëjimas yra vaizdesnis dėstymo metodikos požiūriu.



11.9 pav. Asinchroninio variklio statoriaus bendras vaizdas (a), magnetolaidis (b), apvijos išvadų išdėstymo (c) ir jų jungimo (d) schemos

Trumpai sujungto rotoriaus žiedai su sparneliais iš abiejų pusių pagerina rotoriaus aušinimą. Tokia rotoriaus konstrukcija yra paprasta, technologiška. **Daugumos asynchroninių variklių**, ypač mažos ir vidutinės galios, **rotorius yra trumpai sujungtas**. Trumpai sujungto rotoriaus apvijos srovė sukuria magnetinį srautą, kurio polių porų skaičius savaimėje gaunasi tokis pat kaip statoriaus magnetinio lauko.

Faziniame rotoriuje (11.11 pav.) yra izoliuoto varinio laido apvija, kuri sudaroma taip, kad jos magnetinio lauko polių porų skaičius būtų tokis pat kaip statoriaus lauko. Rotoriaus **apvija** dažniausiai yra **sujungiamā žvaigždė**: **neutralusis mazgas izoliuojamas**, o kiti trys apvijos **ričių išvadai prijungiami prie trijų bronzinių kontaktinių žiedų**. Šie žiedai suskasi kartu su rotoriumi, jie yra izoliuoti nuo veleno ir prie jų prispaudžiami šepečiai. Šepečių kontaktai išvedami į variklio skydelį ir žymimi šitaip: *K, L, M* (rusiškomis raidėmis ir skaitmenimis – *P1, P2, P3*).

Prie šepečių išvadų galima prijungti trifazį reostatą, kuriuo reguliuojama rotoriaus grandinės varža. Jei reostatas neprijungiamas, šepečių išvadus reikia sujungti trumpai, kad rotoriaus grandinė būtų uždara. Fazinio rotoriaus sandara yra sudėtingesnė, bet, keičiant rotoriaus **grandinės varžą**, galima keisti variklio charakteristikas.

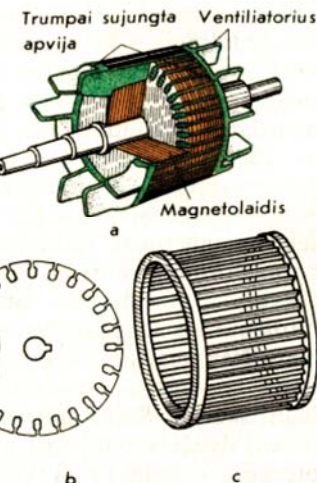
Rotoriaus ir statoriaus magnetolaidžiai kartu su oro tarpu tarp jų sudaro variklio magnetinę grandinę (11.12 pav.). Kuo geresnės plieno magnetinės savybės ir kuo mažesnis oro tarpas, tuo mažesnė yra šios grandinės magnetinė varža. (Mažos galios asynchroninių variklių oro tarpas yra 0,4–0,5 mm, o galingų – keletas milimetru). Tai reiškia, kad tokia pat MVJ sudaro didesnę magnetinę indukciją oro tarpe, gaunamą didesnė rotoriaus apvijos EVJ ir stipresnę srovę, rotoriaus laidininkus veikia didesnės elektromagnetinės jėgos. Tuo būdu, kuo mažesnė variklio magnetinės grandinės magnetinė varža, tuo mažesnė yra tokios pat galios variklio masė ir matmenys.

Kitos mašinos dalys yra tokios pat kaip ir kitų elektros mašinų. Tai velenas, guoliai, ventiliatorius. Mašinos korpusas ir dangčiai dažniausiai gaminami iš aluminio ar ketaus. Aušinimui pagerinti korpuso paviršius daromas briaunotas.

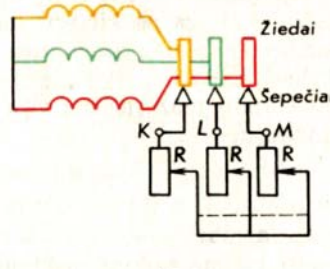
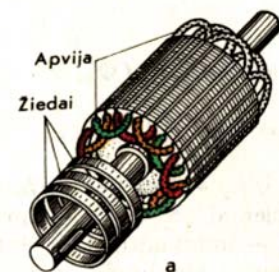
11.3

Elektromagnetiniai reiškiniai asynchroniniame variklyje

Elektromagnetiniai reiškiniai asynchroninio variklio statoriaje ir rotoriuje **daug kuo panašūs į tuos, kurie vyksta**



11.10 pav. Trumpai sujungto rotoriaus bendras vaizdas (a), magnetolaidžio lakštas (b), trumpai sujungta apvija (c)



11.11 pav. Fazinio rotoriaus bendras vaizdas (a) ir jungimo schema (b)

transformatoriuje. Variklio magnetinis srautas besiskdamas indukuoja EVJ statoriaus ir rotorius apvijose (kaip transformatoriaus kintamasis srautas – pirmineje ir antrinėje apvijose). Rotorius apvija (kaip ir antrine transformatoriaus) dėl indukuotos EVJ teka srovė. **Skirtumas yra tas, kad transformatoriaus magnetinis srautas yra laiko funkcija, o asinchroninio variklio magnetinis laukas juda erdvėje.** Be to, asinchroninio variklio rotorius sukasi. Kaip tik dėl to elektromagnetiniai reiškiniai asinchroniniuose varikliuose ir transformatoriauose aprašomi panašiomis lygtimis, tik įvertinanči minėtus skirtumus. Sudaromos asinchroninio variklio atstojamosios schemas bei vektorinės diagramos. Kad būtų paprasčiau nagrinėti, lygtys bei schemas sudaromos tik vienai variklio statoriaus ar rotorius apvijos fazei, laikant apvijas simetriškomis. Statoriaus elektrinius (ir kai kuriuos neelektrinius) dydžius žymėsime indeksu „1“ (pirminė apvija), o rotorius – indeksu „2“ (antrinė apvija).

11.3.1. Statoriaus ir rotorius apvijų EVJ. Sukamasis magnetinis laukas kerta statoriaus ir rotorius apvijų laidininkus ir indukuoja juose kintamąsias EVJ e_1 ir e_2 . Jų efektines vertes galime apskaičiuoti taip kaip skaičiavome transformatoriaus apvijų EVJ (žr. 9.1.2).

Tuo būdu statoriaus ir rotorius apvijos vienos fazės EVJ:

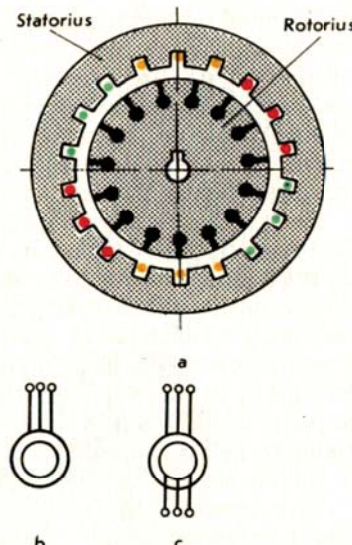
$$E_1 = 4,44 k_1 N_1 f \Phi_m, \quad (11.9)$$

$$E_2 = 4,44 k_2 N_2 f_2 \Phi_m; \quad (11.10)$$

čia k_1 ir k_2 – šiek tiek mažesni už vienetą (apie 0,95) apvijų koeficientai, N_1 ir N_2 – apvijų vienos fazės vijų skaičiai, f ir f_2 – indukuotų EVJ dažniai, Φ_m – variklio magnetinio srauto amplitudė.

Apvijų koeficientais k_1 ir k_2 įvertinama tai, kad apvijų laidininkai yra paskirstyti statoriaus ir rotorius magneto-laidžio paviršiuje, todėl juose indukuotų EVJ fazės šiek tiek skiriasi. Dėl to apvijos kiekvienos fazės EVJ efektinė vertė yra truputį mažesnė nei vijų skaičiaus ir vienos vijos EVJ sandauga.

Statoriaus EVJ dažnis yra lygus ją indukavusio magnetinio srauto, t. y. įtampos, prie kurios prijungta statoriaus apvija, dažniui: $f_1 = f$. **Rotorius apvijos EVJ dažniui** apskaičiuoti galime taikyti priklausomybę, analogišką (11.6) lygtimi. Kadangi sukasi ir statoriaus magnetinis laukas, ir rotorius, tai EVJ e_2 dažnis yra proporcionalus lauko ir rotorius sūkių dažniui skirtumui $\Delta n = n_0 - n$.



11.12 pav. Asinchroninio variklio magnetinė grandinė (a) ir jo sutartiniai ženkliai: b – su trumpai sujungtu rotoriumi; c – su faziniu rotoriumi

Pritaikę (11.6) lygybę, galime parašyti: $f_2 = p \cdot \Delta n = p(n_0 - n)$. Iš (11.8) išrašę $n_0 - n = n_0 s$ gauname:

$$f_2 = pn_0s = fs. \quad (11.11)$$

Kaip matome, rotoriaus apvijos EVJ dažnis priklauso nuo to, greitai ar lėtai sukasi rotorius, t. y. nuo slydimo. Paleidimo metu, kol rotorius dar nesisuka, $n=0$, $s_k=1$ ir $f_2=f$. Tuo metu rotoriaus apvijos EVJ dažnis yra didžiausias ir lygus statoriaus apvijos įtampos dažniui. Rotoriui įsisukant $n \rightarrow n_0$, $s \rightarrow 0$, $f_2 \rightarrow 0$.

Varikliui normaliai dirbant, jo rotoriaus apvijos EVJ dažnis palyginti su tinklo dažniu yra nedidelis. Pavyzdžiu, prie 50 Hz tinklo prijungto variklio, kurio apkrova vardinė, rotoriaus apvijos EVJ dažnis $f_2 \approx 50 \cdot 0,05 \approx 2,5$ Hz.

Išrašę $f_2 = fs$ reikšmę į (11.10), gauname:

$$E_2 = 4,44 k_2 N_2 f \Phi_m s. \quad (11.12)$$

Matome, kad ne tik dažnis, bet ir **efektinė rotoriaus apvijos EVJ vertė priklauso nuo rotoriaus greičio**. Paleidimo momentu $n=0$, $s_k=1$, todėl EVJ yra didžiausia:

$$E_{2k} = 4,44 k_2 N_2 f \Phi_m. \quad (11.13)$$

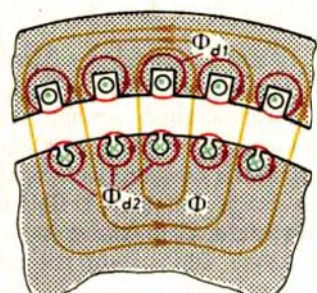
Rotoriui įsisukant, $n \rightarrow n_0$, $s \rightarrow 0$, todėl EVJ mažėja. Padaliję (11.13) iš (11.12), turime:

$$E_2 = E_{2k} s. \quad (11.14)$$

Išrašę vardines E_{2N} ir s_N vertes, gauname: $E_{2k} = E_{2N}/s_N \approx \approx E_{2N}/0,05 \approx 20E_{2N}$. Matome, kad paleidimo metu rotoriaus apvijos EVJ E_{2k} gali būti 20 (ar daugiau) kartų didesnė už vardinę E_{2N} .

11.3.2. Statoriaus ir rotoriaus apvijų varžos. Statoriaus ir rotoriaus apvijų vienos fazės aktyviųsių varžas pažymėsime R_1 ir R_2 . Tai pačiai mašinai jas laikysime pastoviomis.

Kaip ir transformatoriuje, be pagrindinio magnetinio srauto Φ , kuris veria statoriaus ir rotoriaus apvijas, asinhroniniame variklyje **yra statoriaus ir rotoriaus sklaidos srautai** Φ_{d1} ir Φ_{d2} . Sklaidos magnetinių laukų linijos užsidaro apie laidininkus ar jų grupes (11.13 pav.). Kadangi apvijomis teka kintamoji srovė, sklaidos srautai yra kintamieji. **Statoriaus bei rotoriaus apvijose jie indukuoja sklaidos EVJ** e_{d1} ir e_{d2} , kurios faze skiriasi nuo iki tol nagrinėtų EVJ e_1 ir



11.13 pav. Statoriaus ir rotoriaus apvijos sklaidos srautai

e_2 (žr. 5.5.1). Kaip ir transformatoriui, jas pakeisime įtampos kritimais statoriaus ir rotoriaus apvijų sklaidos induktyviųose varžose: $E_{d1}=jX_{d1}I_1$ ir $E_{d2}=jX_{d2}I_2$; čia I_1 ir I_2 – statoriaus ir rotoriaus kompleksinės srovės.

Sklaidos induktyviųosios varžos (paprastumo dėlei žodis „sklaidos“ bei indeksas „ d “ dažnai yra praleidžiamas):

$$X_1 = 2\pi f L_1; \quad X_2 = 2\pi f L_2 = 2\pi f L_2 s. \quad (11.15)$$

Kaip matome, rotoriaus apvijos induktyvioji varža priklauso nuo slydimos. Paleidimo momentu $n=0$, $s_k=1$:

$$X_{2k} = 2\pi f L_2. \quad (11.16)$$

Iš (11.15) ir (11.16) gauname:

$$X_2 = X_{2k} s. \quad (11.17)$$

Paleidimo momentu, kai $n=0$, rotoriaus apvijos induktyvioji varža yra didžiausia. Varikliui išsukant ji mažėja.

Kompleksinės statoriaus ir rotoriaus apvijų varžos:

$$\underline{Z}_1 = R_1 + jX_1; \quad \underline{Z}_2 = R_2 + jX_2. \quad (11.18)$$

11.3.3. Statoriaus ir rotoriaus grandinių atstojamosios schemos ir vektorinės diagramos. Kaip ir transformatoriui, statoriaus ir rotoriaus apvijos vienai fazei galime sudaryti atstojamąją schemą ir nubraižyti vektorinę diagramą.

Statoriaus apvijos vienos fazės atstojamojoje schema (11.14 pav.) yra pavaizduoti tokie pat elementai kaip ir transformatoriaus pirminės apvijos. Tokiai grandinei galime užrašyti II Kirchhofo dėsnį:

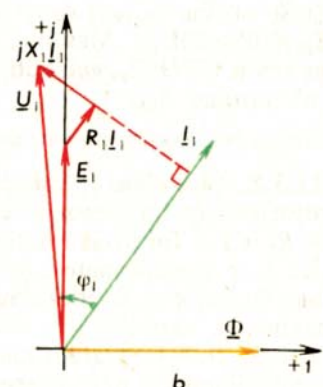
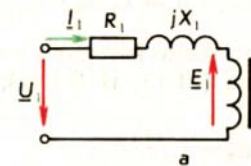
$$\underline{U}_1 = \underline{E}_1 + (R_1 + jX_1) \underline{I}_1. \quad (11.19)$$

Statoriaus apvijos vektorinė diagrama yra tokia pat kaip ir transformatoriaus pirminės apvijos (žr. 9.1.4).

Paprasčiausią rotoriaus apvijos vienos fazės atstojamąją schemą (11.15 pav., a) sudaro trys elementai: ritė, kurioje sukamas magnetinis laukas indukuoja EVJ \underline{E}_2 , induktivumo ritė ir rezistorius. EVJ efektinė vertė E_2 ir induktivumo ritės varža X_2 priklauso nuo rotoriaus slydimos, o $R_2 = \text{const}$. Taikome Omo dėsnį rotoriaus apvijos vienai fazei:

$$\underline{I}_2 = \underline{E}_2 / (R_2 + jX_2). \quad (11.20)$$

Prisiminė, kad $\underline{E}_2 = E_{2k}s$ ir $X_2 = X_{2k}s$ (žr. (11.14) ir (11.17) lygybes) ir išrašę jas į (11.20), gauname:



11.14 pav. Statoriaus vienos fazės atstojamoji schema (a) ir vektorinė diagrama (b)

$$I_2 = \underline{E}_{2k} s / (R_2 + jX_{2k}s). \quad (11.21)$$

Kaip matome, paleidimo momentu, kai $s_k = 1$, rotoriaus apvijos EVJ ir induktyvioji varža yra didžiausios. Padalykime (11.21) skaitiklį ir vardiklį iš slydimo s , kad nuo jo priklausytų tik vienas šios lygibės dešiniosios pusės narys:

$$I_2 = \frac{\underline{E}_{2k}}{(R_2/s) + jX_{2k}}. \quad (11.22)$$

Ekvivalentinę atstojamąją grandinę (11.15 pav., b), kuriai tiktū (11.22) lygtimi užrašytas Omo dėsnis, sudaro apvija, kurios $\underline{E}_{2k} = \text{const}$, ritė su $X_{2k} = \text{const}$ ir keičiamos varžos R_2/s reostatas. Toks rotoriaus matematinis modelis fizikinių reiškinij požiūriu yra neteisingas. Iš tiesų $R_2 = \text{const}$, o kinta \underline{E}_{2k} ir X_{2k} , bet juo paprasčiau matematiskai modeliuoti ryšius tarp rotoriaus apvijos elektrinių dydžių.

Kaip matome, rotoriaus srovė ir fazijų skirtumas ψ_2 tarp \underline{E}_{2k} ir I_2 priklauso nuo rotoriaus slydimo:

$$I_2 = \frac{\underline{E}_{2k}}{\sqrt{(R_2/s)^2 + X_{2k}^2}}; \quad \operatorname{tg} \psi_2 = \frac{X_{2k}}{R_2/s}. \quad (11.23)$$

Paleidimo momentu:

$$n = 0 \rightarrow s_k = 1 (\max) \rightarrow R_2/s = R_2 (\min) \xrightarrow{\psi_2 \rightarrow \max} I_2 \rightarrow \max.$$

Varikliui įsisukant, sūkių dažnis didėja, todėl mažėja slydimas, rotoriaus apvijos srovė ir fazijų skirtumas ψ_2 :

$$n \uparrow \rightarrow s \downarrow \rightarrow (R_2/s) \uparrow \xrightarrow{\psi_2 \downarrow} I_2 \downarrow.$$

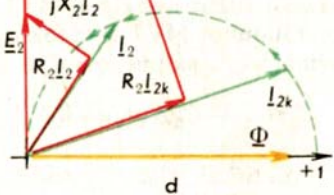
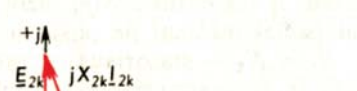
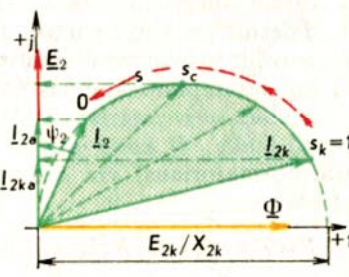
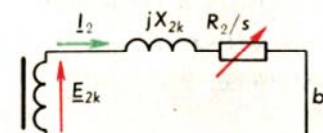
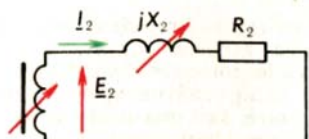
Rotoriaus srovės kitimą, varikliui įsisukant, iliustruoja nubraižyta apskritiminė vektorinė diagrama (11.15 pav., c). Srovės I_2 vektoriaus hodografas yra apskritimo dalis.

Norėdami nubraižyti įtampų vektorinę diagramą, parašysime rotoriaus grandinei (11.15 pav., a) II Kirchhofo dėsnį:

$$R_2 I_2 + jX_2 I_2 = \underline{E}_2. \quad (11.24)$$

11.15 pav., d pavaizduota rotoriaus grandinės vektorinė diagrama dviem atvejais: 1) paleidimo momentu ($I_{2k}; \underline{E}_{2k}$) ir 2) kai rotorius sukasi ($\underline{E}_2; I_2$). Kuo didesnis rotoriaus sūkių dažnis, tuo mažesnė \underline{E}_2 , I_2 ir kampus ψ_2 .

11.3.4. Variklio magnetinis laukas ir srovių vektorinė diagrama. Kai rotoriaus apvijos laidininkais teka srovės, jos sukuria rotoriaus magnetinį lauką. Jis turi tiek pat polių porų kiek ir statoriaus magnetinis laukas ir sukasi ta pačia kryptimi.



11.15 pav. Rotoriaus vienos fazės atstojamosios schemas (a, b), srovės (c) ir įtampų (d) vektorinės diagramos

Tarkime, kad rotorius magnetinio lauko sūkių dažnis (nejudamo rotorius atžvilgiu) yra n_{21} . Jį galime suskaidyti į dvi dedamasias: n – paties rotorius sūkių dažnį ir n_{22} – rotorius magnetinio lauko sūkių dažnį rotorius apvijos atžvilgiu: $n_{21}=n+n_{22}$.

Zinome, kad magnetinio lauko sūkių dažnis jį kuriančios apvijos atžvilgiu gali būti apskaičiuotas iš (11.6) lygybės: $n_{22}=f_2/p$. Irašę $f_2=f_s$ iš (11.11), ir pasinaudoję (11.6) ir (11.8) lygybėmis, gauname:

$$n_{21}=n_0(1-s)+fs/p=n_0-n_0s+n_0s=n_0. \quad (11.25)$$

Matome, kad rotorius apvijos magnetinis laukas suskasi tuo pačiu dažniu kaip ir statoriaus.

Rotorius magnetinis laukas erdvėje nesutampa su statoriaus magnetiniu lauku (11.16 pav.) ir jį silpnina. Kuo didesnis variklio slydimas, tuo stipresnė rotorius apvijos srovė ir jos išmagnetinantis poveikis, ir tuo didesnis lauką nesutapimo kampus Θ .

Statoriaus ir rotorius laukai sudaro suminį variklio magnetinį lauką. Jį kuria suminė variklio MVJ, kuri (kaip ir transformatoriaus) yra statoriaus ir rotorius apvijų MVJ skirtumas:

$$F=F_1-F_2=C_1N_1I_1-C_2N_2I_2; \quad (11.26)$$

čia C_1 ir C_2 – koeficientai, priklausantys nuo mašinos statoriaus ir rotorius apvijų fazų skaičiaus bei konstrukcijos (tai pačiai mašinai jie pastovūs);

N_1 ir N_2 – statoriaus ir rotorius apvijų vijų skaičius;

I_1 ir I_2 – statoriaus ir rotorius kompleksinės srovės.

Kadangi statoriaus apvijos varžos R_1 ir X_1 yra palyginti nedidelės, tai įtampos kritimai jose nedideli: $Z_1I_1 \ll E_1$. Dėl to jų galime nepaisyti ir iš (11.19) parašyti: $U_1 \approx E_1$. Prisiminę (11.9) lygybę, galime užrašyti:

$$U_1 \approx E_1 = 4,44 k_1 N_1 f \Phi_m. \quad (11.27)$$

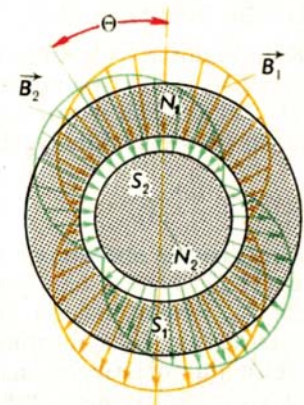
Matome, kad variklio (kaip ir transformatoriaus) magnetinis srautas $\Phi \sim U_1$. Kai statoriaus apvijos įtampa $U_1 = \text{const}$, srautas $\Phi \approx \text{const}$, ir variklio suminė MVJ $F \approx \text{const}$.

Idealios tuščiosios eigos metu $n=n_0$, $I_2 \approx 0$, todėl (žr. (11.26)) tuščiosios eigos MVJ $F_0 = C_1 N_1 I_0$. Kadangi nekeičiant įtampos MVJ lieka tokia pat, tai varikliui, kaip ir transformatoriui, galime užrašyti šitokią MVJ lygtį:

$$C_1 N_1 I_1 - C_2 N_2 I_2 = C_1 N_1 I_0. \quad (11.28)$$

Praktiškai $C_1 \approx C_2$, todėl, padaliję abi (11.28) lyties puses iš $C_1 N_1$ sandaugos, gauname šitokią srovų lygtį:

$$I_1 - (N_2/N_1) I_2 = I_0. \quad (11.29)$$



11.16 pav. Sukamieji statoriaus ir rotorius magnetiniai laukai

$$I_1 = I_0 + (N_2/N_1) I_2 \quad (11.30)$$

Srovės vektorinė diagramma (11.17 pav.) yra bražoma taip pat kaip transformatoriui (žr. 9.1.3). Joje vektorius $I'_2 = (N_2/N_1) I_2$. Matome, kad stiprėjant išmagnetinančiai rotorius apvijos srovei I_2 , stiprėja statorius apvijos srovė I_1 . Paleidimo momentu, kai $s_k = 1$, $I_2 = I_{2k}$, t. y. didžiausia, variklio statorius apvija teka taip pat stipriausia srovė I_{1k} .

11.3.5. Variklio atstojamoji schema. Ją gautume, nubraižę nagrinėtas statoriaus ir rotorius atstojamasis schemas (11.18 pav., a). Tokia atstojamoji schema nepatogi tuo, kad joje neatspindėti ryšiai tarp statoriaus ir rotorius elektrinių dydžių. Patogesnė yra „T“ atstojamoji schema, kuri sudaroma panašiai kaip transformatoriui (žr. 9.2.4). Tam rotorius apviją reikia redukuoti, perskaiciuojant visus jo elektrinius dydžius. Redukuotos rotorius apvijos E'_1 , I'_2 , R'_1 ir X'_2 apskaičiuojami panašiai kaip transformatoriui (žr. 9.2.3). Kompleksinę varžą $Z_o = R_o + jX_o$ galima apskaičiuoti taikant Omo dėsnį: $Z_o = \frac{U_1}{I_0}$. Variklio srovės lygtį (11.29) galime parašyti, taikydami I Kirchhofo dėsnį „T“ atstojamajai grandinei.

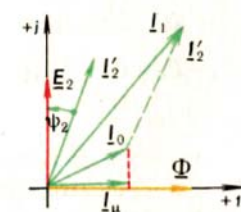
Pagal atstojamąją schema galima sudaryti asinchroninio variklio elektrinių modelių ir tirti įvairių jo elektrinių dydžių ryšius.

11.4

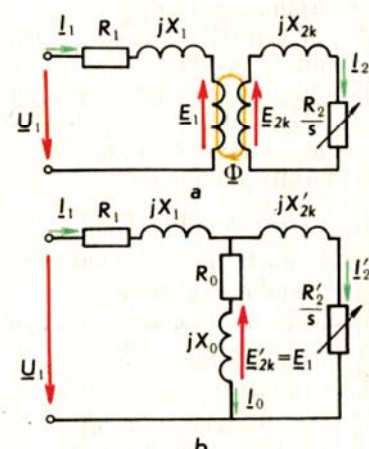
Asinchroninio variklio nuostoliai ir mechaninė charakteristika

11.4.1. Energetinė diagramma. Asinchroninis variklis perverčia elektros energiją mechaninę. Elektrinė aktyvioji galia, kurią trifazis variklis gauna iš tinklo, $P_e = P_1 = 3P_f = 3U_1 I_1 \cos \varphi$ (11.19 pav.). Šios galios dalis yra statoriaus magnetinių ir elektrinių nuostolių galia – P_{dm1} ir P_{de1} . Magnetinių nuostolių galia $P_{dm1} \sim (f\Phi)^2$ (žr. 5.4.4) ir yra pastovi, jei $f = \text{const}$ ir $\Phi \sim U_1 = \text{const}$. Elektrinių nuostolių galia $P_{de1} = 3R_1 I_1^2$; čia R_1 ir I_1 – statoriaus vienos fazės aktyvioji varža ir srovė. Stiprėjant rotorius apvijos srovei, stiprėja ir statoriaus apvijos srovė (žr. (11.30)), taigi didėja nuostoliai statoriaus apvijoje.

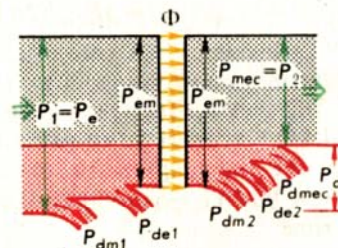
Iš variklio statoriaus perduodama į rotorių elektromagnetinė galia – P_{em} . Dalis jos yra rotorius nuostolių galia; magnetinių – P_{dm2} , elektrinių – P_{de2} ir mechaninių – P_{dme} . Magnetinių nuostolių galia $P_{dm2} \sim (f_2 \Phi)^2$. Kai slydimas artimas vardiniam, galime laikyti, kad $f_2 \approx 0$ ir $P_{dm2} \approx 0$. Elektrinių nuostolių galia apskaičiuosime laikydami, kad rotorius apvija yra taip pat trifazė: $P_{de2} = 3R_2 I_2^2$. Mechaniniai nuostoliai yra gana maži, todėl, kaip ir magnetinių, jų galime nepaisyti.



11.17 pav. Asinchroninio variklio srovės vektorinė diagramma



11.18 pav. Asinchroninio variklio atstojamosios schemas: a – vaizduojanti magnetinį statoriaus ir rotorius ryšį; b – "T" schema



11.19 pav. Asinchroninio variklio energetinė diagramma

Tuomet asinchroninio variklio naudingoji galia

$$\begin{aligned} P_2 &= P_1 - P_d = P_1 - P_{dm} - P_{de1} - P_{de2} \approx \\ &\approx P_{em} - P_{de2}; \end{aligned} \quad (11.31)$$

čia P_d – statoriaus ir rotoriaus nuostolių galia.

Antra vertus, elektromagnetinę ir naudingą galia galima užrašyti šitaip:

$$P_{em} = \omega_0 M_{em}, \quad (11.32)$$

$$P_2 = \omega M; \quad (11.33)$$

čia ω_0 ir ω – statoriaus magnetinio lauko ir rotoriaus kampiniai greičiai,

M_{em} ir M – variklio elektromagnetinis ir sukimo momentai.

Nepaisant trinties, galima laikyti, kad $M \approx M_{em}$. Iš (11.31) – (11.33) lygybių: $P_{de2} = P_{em} - P_2 = \omega_0 M - \omega M = (\omega_0 - \omega)M$. Prisiminė, kad $\omega = 2\pi n$, o $n_0 - n = n_0 s$ (žr. (11.18)), gauname:

$$P_{de2} = s \omega_0 M = s P_{em}. \quad (11.34)$$

Irašę gautą nuostolių galios reikšmę į (11.31), turime variklio naudingą galia

$$P_2 = (1 - s) P_{em}. \quad (11.35)$$

Kai variklio rotorius nesuka, pavyzdžiu, paleidžiant variklį, $s_k = 1$, $P_2 = 0$. Tuo metu visa iš tinklo imama aktyviųjų energijos variklyje pavirsta šiluma. Kai slydimas vardinis ($s_N \approx 0,05$), beveik visa elektromagnetinė energija paverčiama mechanine.

11.4.2. Sukimo momentas. Variklio sukimo momentas yra vienas svarbiausių jo mechaninių dydžių. Prisiminė, kad $\omega_0 = 2\pi f/p$ (žr. 11.15), iš (11.34) lygties galime parašyti:

$$M = P_{de2}/(s \omega_0) = p P_{de2}/(2\pi f s). \quad (11.36)$$

Laikydami, kad rotoriaus apvija yra trifazė, rotoriaus elektrinių nuostolių galia galime apskaičiuoti šitaip: $P_{de2} = 3 E_2 I_2 \cos \psi_2$. Irašysime į šią lygtį $E_2 = 4,44 k_2 N_2 \Phi_m s$ (žr. (11.14) lygubę) ir po to gautąjį P_{de2} išraišką – į (11.36) lygtį. Pakiteit amplitudinę magnetinio srauto vertę efektine ($\Phi_m = \sqrt{2}\Phi$) ir pastoviu dydžiu reiškinį pažymėjė raide C_M , turime:

$$M = C_M \Phi I_{2a}; \quad (11.37)$$

C_M – pastovus tai pačiai mašinai koeficientas,
 $I_{2a} = I_2 \cos \psi_2$ – aktyvioji rotorius apvijos srovės dedamoji.

Kai statoriaus apvijos įtampa $U_1 = \text{const}$, $\Phi \approx \text{const}$, todėl $M \sim I_{2a}$, t. y. proporcingas aktyviajai rotorius apvijos srovės dedamajai. Pažvelgę į rotorius apvijos srovės apskritiminę diagramą (11.15 pav., c) matome, kad I_{2a} yra I_2 vektoriaus projekcija į E_2 vektorių. Paleidžiant variklį, I_{2a} didėja, kol I_2 vektoriaus viršūnė patenka į aukščiausią apskritimo tašką. Tuomet momentas didžiausias $M = M_{\max}$; slydimas (vadinamas kriziniu) $s = s_c$; $\psi_{2c} = 45^\circ$, todėl $\operatorname{tg} \psi_{2c} = X_{2c}/R_2 = 1,0$ ir $X_{2c} = R_{s2}$. Matome, kad priklausomybė $M = f(s)$ turi dvi skirtingas sritis. Pirmoji sritis: slydimas kintą nuo 1 iki s_c ; antroji – nuo s_c iki 0. Pirmojoje srityje, kai slydimas mažėja, I_{2a} didėja, o antrojoje – slydimui mažėjant, I_{2a} mažėja. Tai galima užrašyti šitaip:

1. $1 \geq s \geq s_c : s \downarrow \rightarrow I_{2a} \uparrow \rightarrow M \uparrow$ iki M_{\max} ;
2. $s_c \geq s \geq 0 : s \downarrow \rightarrow I_{2a} \downarrow \rightarrow M \downarrow$ iki 0.

Kokybiškai $M = f(s)$ galime pavaizduoti kreive (11.20 pav., a). Joje sužymėti du būdingieji taškai: paleidimo (K) – $s_k = 1$, $M = M_k$; krizinis (C) – $s = s_c$, $M = M_{\max}$.

Kai variklis dirba generatorinio stabdymo režimu (žr. 11.2.2), jo $M = f(s)$ pobūdis yra tokis pat kaip ir jam dirbant variklio režimu, bet laikoma, kad $M < 0$ ir $s < 0$ (žr. 11.20 pav., b). Kai variklio rotorius darbo mašina priverstinai suka prieš jo magnetinio lauko sukimosi kryptį, variklis dirba priešinio jungimo stabdymo režimu: $M > 0$ ir $s > 1$.

Analininę priklausomybę $M = f(s)$ galime gauti, į (11.37) lygtį išrašę I_2 ir $\cos \psi_2$ vertes (žr. (11.23)):

$$M = C_M \Phi \frac{E_{2k}}{\sqrt{(R_2/s)^2 + X_{2k}^2}} \cdot \frac{R_2/s}{\sqrt{(R_2/s)^2 + X_{2k}^2}}.$$

Padaliję šios lygybės skaitiklį bei vardiklį iš (R_2/s) ir padauginę vardiklį iš (X_{2k}/X_{2k}) , gauname:

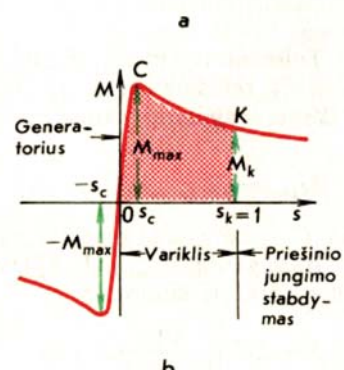
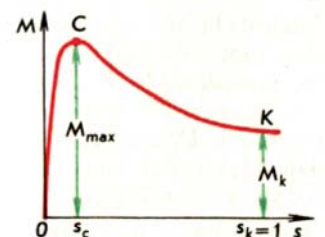
$$M = C_M \Phi \frac{E_{2k}}{X_{2k}} \cdot \frac{1}{R_2/(sX_{2k}) + (sX_{2k})/R_2}. \quad (11.38)$$

Funkcijos $M = f(s)$ ekstremumui rasti pirmąjį išvestinę prilyginsime nuliui: $dM/ds = 0$. Gauname:

$$M_{\max} = C_M \Phi E_{2k} / (2X_{2k}); \quad s_c = R_2/X_{2k}. \quad (11.39)$$

Irašę gautas M_{\max} ir s_c reikšmes į (11.38), gauname lygtį, vadinamą Kloso lygtimi:

$$M = \frac{2M_{\max}}{s/s_c + s_c/s}. \quad (11.40)$$



11.20 pav. Mechaninio momento priklausomybė nuo slydimo, kai asinchroninė mašina dirba variklio režimu (a) ir įvairiais režimais (b)

Taikant (11.40) lygtį, patogu iš variklio katalogo duomenų apskaičiuoti $M=f(s)$ ir, jei reikia, pavaizduoti šią priklausomybę grafiškai (žr. 11.20 pav., a). Reikia pastebeti, kad ši lygtis tik apytikslė, nes buvo padaryta ne viena prieilaida (pavyzdžiui, $U_1 \approx E_1$, $E_1 \sim \Phi$, $R_2 = \text{const}$, atsižvelgta tik į rotoriaus elektrinius nuostolius ir pan.), šiek tiek pakeičianti variklyje vykstančių reiškinį tikrąjį vaizdą.

Iš šios gana nesudėtingos lygties galime apskaičiuoti mechaninį momentą praktinėms reikšmėms pakankamu tikslumu, kai slydimas $|s| \leq 0,3 - 0,4$.

Tolesniam tyrimui išrašykime į didžiausio momento (11.39) lygtį E_{2k} reikšmę iš (11.13): $M_{\max} = 4,44 C'_M k_2 N_2 f \Phi^2 / (2 X_{2x})$. Pakeitę magnetinį srautą jo reiškiniu iš (11.27), turime:

$$M_{\max} = CU_1^2, \quad (11.41)$$

čia C – tai pačiai mašinai pastovus koeficientas.

Išraše gautą M_{\max} iš (11.40), variklio sukimo momentą galime užrašyti šitaip:

$$M = 2C \frac{U_1^2}{s/s_c + s_c/s}. \quad (11.42)$$

Iš viso to, kas buvo čia išdėstyta, galima padaryti tokias praktikai labai svarbias išvadas.

1. Sukimo momentas yra proporcingas variklio statoriaus apvijos įtampos kvadratui. Sumažėjus įtampai U_1 , sukimo momentas sumažėja pagal kvadratinę priklausomybę.

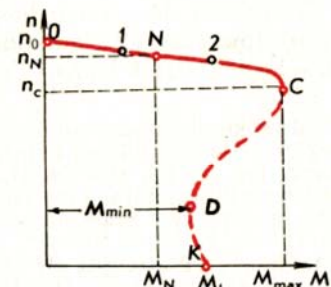
2. Krizinis slydimas $s_c \sim R_2$, o M_{\max} nuo rotoriaus varžos R_2 nepriklauso. Padidinus rotoriaus aktyvią varžą R_2 , s_c padidėja, o M_{\max} išlieka toks pat (žr. (11.39)).

3. Kai $s \leq s_N$, $M = f(s)$ funkciją apytiksliai galima užrašyti tiesės lygtimi:

$$M = (M_N/s_N) s. \quad (11.43)$$

11.4.3. Variklio su trumpai sujungtu rotoriumi mechaninė charakteristika. Tokių variklių yra dauguma. Kai tokio variklio statoriaus apvija prijungiamā prie vardinės įtampos U_{1N} , kurios dažnis yra lygus variklio vardiniam dažniui f_N , variklio mechaninė charakteristika vadinama **naturaliaja**.

Naturaliają mechaninę charakteristiką galime sudaryti iš $M=f(s)$ (žr. (11.40) lygtį ir 11.20 pav.), prisiminę, kad rotoriaus sūkių dažnis $n=n_0(1-s)$ (11.8). Matome, kad n yra tiesinė mažėjanti slydimo s funkcija, todėl, pakeitę slydimą sūkių dažniu, iš $M=f(s)$ gauname $n=f(M)$. Gautosios kreivės forma yra panaši į anksčiau nubraižytos $M=f(s)$ (11.21 pav.).



11.21 pav. Asinchroninio variklio natūralioji mechaninė charakteristika

Natūraliosios mechaninės charakteristikos $n=f(M)$ dalis, kol $M \leq 0,9M_{\max}$, yra beveik tiesė, todėl laikoma, kad ją apytiksliai galima nubrėžti per du taškus: idealios tuščiosios eigos (O) — $n = n_0$; $M = 0$ ir vardinio režimo (N) — $n = n_N$; $M = M_N$. Tokiu atveju natūraliosios mechaninės charakteristikos tiesinę dalį apytiksliai galima užrašyti tiesės lygtimi (žr. (11.43)):

$$n = n_0 - \frac{n_0 - n_N}{M_N} M. \quad (11.44)$$

Be tuščiosios eigos ir vardinio režimo taškų, mechaninėje charakteristikoje yra pažymėti dar trys. Vienas iš jų yra paleidimo taškas K , kurjame charakteristika kerta abscisu ašį: $n = 0$, $M = M_k$. Paleidimo momentas $M_k \geq M_N$. Charakteristikos taškas C ($M = M_{\max}$, $n = n_c$) vadinas križiniu. Jis skiria variklio charakteristiką į dvi dalis: $O-C$ — stabilaus darbo sritij ir $C-K$ — pereinamujų režimų sritij.

Dėl aukštenujų statoriaus apvijos srovės harmonikų statoriuje susidaro priešingos sukimosi krypties magnetinis laukas. Todėl, kai $s \approx 0,8$, praktiškai dažnai esti $M_{\min} \leq (0,85-0,90)M_k$ (charakteristikos taškas D).

Asinchroninis, kaip ir kiti elektros varikliai, yra susireguliuojantis. Tarkime, kad jis dirba apkrautas mechaniniu momentu M_1 . Jo sukimo momentas $M_1 = M_s$, ir $n = n_1$ (žr. 11.21 pav., mechaninės charakteristikos 1 tašką). Jei apkrovos momentas padidėjo iki vertės $M_{s2} > M_{s1}$, bet $M_{s2} < M_{\max}$, variklio sukimo momentas $M_1 < M_{s2}$, todėl jo sūkių dažnis ima mažėti. Iš mechaninės charakteristikos $n=f(M)$ matome, kad jos dalyje $O-C$, mažėjant n , didėja M . Variklio momentas didėja tol, kol naujas sukimo momentas tampa lygus naujam apkrovos momentui: $M_2 = M_{s2}$, o $n = n_2$. Variklis pereina į charakteristikos 2 tašką.

Kintant apkrovos momentui, keičiasi ne tik variklio mechaniniai dydžiai, bet ir rotorius bei statoriaus apvijų srovės. Apkrovos momentui padidėjus ir sumažėjus rotoriaus greičiui, padidėja slydimas, todėl sustiprėja rotoriaus apvijos srovė I_s (žr. (11.23)). Kadangi įtampa $U_1 = \text{const}$, $\Phi \approx \text{const}$, padidėjus išmagnetinimui, turi sustiprėti statoriaus apvijos srovė I_1 (žr. (11.30)).

Šiuos reiškinius trumpiau būtų galima užrašyti šitaip:

$$\begin{array}{c} M_s \uparrow \rightarrow n \downarrow \nearrow M \uparrow \\ \searrow I_s \uparrow \xrightarrow{(\Phi \approx \text{const})} I_1 \uparrow \\ (M_s < M_{\max}) \end{array}$$

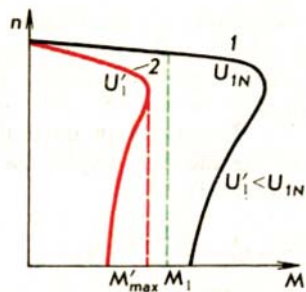
Jei apkrovos momentas sumažėja, vyksta priešingi reiškiniai: variklio momentas sumažėja, padidėja rotoriaus greitis, susilpnėja rotorius ir statoriaus srovės.

Kitaip bus, jei variklij perkrausime momentu $M_{s3} > M_{\max}$. Sumažėjus rotoriaus greičiui, variklio momentas dar labiau sumažėja: $M \ll M_{s3}$, todėl rotoriaus greitis mažėja tol, kol variklis sustoja:

$$\begin{array}{c} M_s \uparrow \rightarrow n \downarrow \nearrow M \downarrow \rightarrow n \downarrow \rightarrow 0 \\ (M_s > M_{\max}) \searrow I_s \uparrow \xrightarrow{(\Phi \approx \text{const})} I_1 \uparrow \rightarrow I_{1k} \\ \searrow I_{2k} \end{array}$$

Variklis prisitaiko prie pakitusios apkrovos tik tuo atveju, jei apkrovos pasipriešinimo momentas yra ne didesnis už variklio M_{max} . Perkrautas variklis sustoja. Labai dažnai $n=f(M)$ dalis, atitinkanti variklio nestabilaus darbo sritį, net nebraižoma, o vaizduojama tik variklio stabilaus darbo tiesinė charakteristikos dalis. Asinchroninio variklio su trumpai sujungtu rotoriumi natūralioji mechaninė charakteristika yra kieta. Jo sūkių dažnis mažai priklauso nuo apkrovos: vardinis n_N esti tik apie 10% mažesnis už n_0 .

Asinchroninis variklis gali būti perkrautas ir sustoti dar tuo atveju, kai netikėtai sumažėja jo statoriaus apvijos įtampos. Tarkime, kad variklis apkrautus momentu $M_{s1} = M_1$, jo sūkių dažnis n_1 (11.22 pav.). Sumažėjus tinklo įtampai ($U'_1 < U_{1N}$), variklio sukimo momentas dar labiau sumažėja, nes $M \sim U^2$ (žr. (11.42)). Dėl to pasikeičia visa variklio mechaninė charakteristika. Gali būti, kad naujasis variklio sukimo momentas $M'_{max} < M_{s1}$, todėl variklis gali sustoti. Dėl šių priežascių **netikėti tinklo įtampos sumažėjimai gali turėti nepageidautinų pasekmis ir būti pavojingi darbo apsaugos požiūriu.**

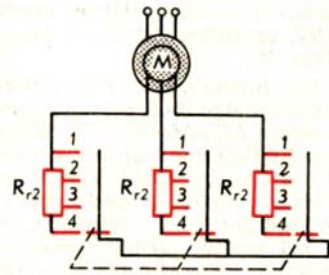


11.22 pav. Asinchroninio variklio natūralioji (1) ir dirbtinė (2) mechaninė charakteristika

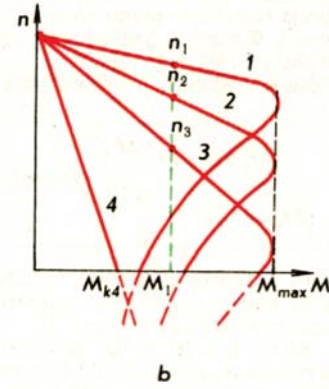
11.4.4. Variklio su faziniu rotoriumi mechaninė charakteristika. I tokio variklio (11.23 pav.) rotorius grandinę galima ijjungti reostatą, kurio varža R_{r2} gali būti keičiamā nuo nulio iki didžiausios vertės. Kai statoriaus apvija yra prijungta prie vardinės įtampos U_{1N} ir vardinio dažnio f_N šaltinio, o rotorius grandinėje papildomos varžos néra ($R_{r2}=0$), variklio su faziniu rotoriumi mechaninė charakteristika yra vadintama **natūraliajai**. Jos pobūdis ir variklio savybės yra tokie pat kaip ir variklio su trumpai sujungtu rotoriumi (žr. 11.23 pav., b, 1 kreivę).

Padidinus reostato varžą, variklio M_{max} nepasikeičia, o krizinis slydimas s_c padidėja (žr. (11.39)). **Variklio mechaninė charakteristika pasikeičia:** tos pačios mechaninio momento vertės, pvz., M_1 , gaunamos esant mažesniams rotorius sūkių dažniui (didesniams slydimui). Pakinta ir paleidimo momentas M_k . Didinant R_{r2} , paleidimo momentą galima padidinti tiek, kad būtų $M_k = M_{max}$. Jei varžą R_{r2} dar didinsime, paleidimo momentas pradės mažėti: $M_{k4} < M_{max}$. Didinant varžą R_{r2} variklio darbo metu, galima priversti variklį dirbtį priešinio jungimo stabdymo režimu, jei apkrovos momentas $M_s > M_{k4}$.

Natūralioji variklio su faziniu rotoriumi mechaninė charakteristika yra kieta. Padidinus R_{r2} charakteristikos yra minkštėsnes: sūkių dažnis, didėjant apkrovai, mažėja labiau.



a



b

11.23 pav. Asinchroninio variklio su faziniu rotoriumi schema (a) ir natūralioji (1) bei dirbtinės (2, 3, 4) mechaninės charakteristikos (b)

11.5

Asinchroninio variklio įvairios charakteristikos ir greičio reguliavimas

11.5.1. Pasos iš katalogo duomenys. Prie kiekvieno variklio yra pritvirtinta lentelė – jo pasas, kuriame surašyti svarbiausi variklio duomenys. **Asinchroninių variklių su trumpai sujungtu rotoriumi pase išrašyta:** vardinė aktyvioji galia P_N ; vardinis sūkių dažnis n_N ; linjinė tinklo įtampa ir variklio statoriaus apvijos jungimo būdas į nurodytos įtampos tinklą; vardinė linjinė statoriaus apvijos srovė I_N (priklausomai nuo jungimo būdo); vardiniai naudingumo ir galios koeficientai γ_N ir $\cos \phi_N$; vardinis dažnis f_N bei kiti mažiau reikšmingi parametrai.

Iš pasos duomenų galime apskaičiuoti ir kitus variklio parametrus: vardinį sukimo momentą; aktyviajā galią, kurią vardine apkrova apkrautasis variklis ims iš tinklo; tuščiosios eigos sūkių dažnį, magnetinio lauko polių porų skaičių ir pan.

Variklių **kataloguose**, be jau minėtų pasos duomenų, dar **nurodomi tokie santykiai:** paleidimo ir vardinės srovės – I_k/I_N ; paleidimo ir vardinio momento M_k/M_N . Žinodami šiuos santykius, galime apskaičiuoti variklio paleidimo ir didžiausią sukimo momentą ir sudaryti variklio mechaninę charakteristiką.

Labai svarbus variklio parametras yra didžiausio ir vardinio momento santykis

$$\lambda = M_{\max}/M_N, \quad (11.45)$$

kuris nusako variklio perkrovimo galimybes, todėl yra vadinas perkrovos koeficientu.

Žinodami λ ir vardinius M_N bei s_N , iš Koso lygties (žr. (11.40)) galime apskaičiuoti krizinį variklio slydimą

$$s_c = s_N (\lambda + \sqrt{\lambda^2 - 1}). \quad (11.46)$$

Krizinis sūkių dažnis

$$n_c = n_0 (1 - s_c). \quad (11.47)$$

Daugumos asinchroninių variklių su trumpai sujungtu rotoriumi: $I_k/I_N = 5-7$; $M_k/M_N = 1,0-2,0$; $\lambda = 2,0-2,5$.

11.1 pavyzdys. Asinchroninio su trumpai sujungtu rotoriumi variklio pase išrašta: $P=5,5 \text{ kW}$, $f=50 \text{ Hz}$, $n=960 \text{ r/min}$, Δ/γ , $220/220/380 \text{ V}$, $I=21,1/12,2 \text{ A}$, $\eta=0,85$, $\cos\varphi=0,8$. Išsiaiškinkime, kokių būdu ir prie kokios tinklo įtampos galime jungti šį variklį. Apskaičiuokime variklio vardinį momentą, aktyviąją galią, kurią vardine apkrova apkrautas variklis ima iš tinklo, tuščiosios eigos sūkių dažnį, magnetinio lauko polių porų skaičių ir vardinį slydimą.

Sprendimai. Variklio pase išraštas ženklius Δ/γ ir įtampos $220/380 \text{ V}$ reiškia, kad šio variklio statoriaus apvija reikia sujungti taip: kai tinklo linijinė įtampa $U_i=220 \text{ V}$, $-\Delta$; kai $U_i=380 \text{ V}$, $-\gamma$. Pirmuoju atveju linijinė vardinė srovė $I_{i\Delta}=21,1 \text{ A}$, o antruoju $I_{i\gamma}=12,2 \text{ A}$. Kadangi mūsų respublikoje trifazinių tinklų (išskyrus specialius atvejus) mažiausia $U_i=380 \text{ V}$, tokį variklį praktiškai visada jungsimė γ .

Vardinė variklio galia yra lygi jo vardinėi naudingajai mechaninei galiai: $P_N=P_{2N}=5,5 \text{ kW}$. Variklio vardinis sukimo momentas (žr. (11.32)): $M_N=P_N/\omega_N=P_N/(2\pi n_N)$. Iš šiai lygybei reikia išrašyti sūkių dažnį, išreikštą sūkiais per sekundę. Perskaiciuojame: $n_N=960/60=16,0 \text{ r/s}$. Tuomet $M_N=5,5 \cdot 10^3 / (2\pi \cdot 16,0)=54,7 \text{ N} \cdot \text{m}$. $P_{1N}=P_N/\eta_N=5,5 \cdot 10^3 / 0,86=6,40 \text{ kW}$ arba $P_{1N}=\sqrt{3} U_N I_N \cos\varphi_N=\sqrt{3} \cdot 380 \cdot 12,2 \cdot 0,8=6,42 \text{ kW}$.

Idealių tuščiosios eigos sūkių dažnis yra lygus magnetinio lauko sūkių dažnui, kuris yra nežinomas. Jis būtų galima apskaičiuoti iš (11.7) lyties: $n_0=50 \cdot 60/p$ (sūkių dažnį skaičiuodami išreikšime praktiškai plačiau vartojamais vienetais – sūkiais per minutę). Šioje lytyje abu dydžiai – n_0 ir p – nežinomi, bet žinome, kad: 1) p yra sveikasis skaičius (1, 2, 3, 4 ir t. t.); 2) $n_0 > n_N=960 \text{ r/min}$; 3) n_0 yra nedaug (tik keletu procentų) didesnis už n_N , nes vardinis slydimas $s_N=0,01-0,07$, t. y. nuo 1% iki 7%.

Dalydami 3000 iš p , gauname tokią n_0 eilę (žr. 11.1 lentelę): 3000, 1500, 1000, 750 ir t. t. Paskutinė n_0 vertė netinka, nes $750 < 960$. Pirmosios dvi taip pat netinka, nes jos daug didesnės už n_N (68% ir 36%).

Gavome, kad idealios tuščiosios eigos sūkių dažnis $n_0=1000 \text{ r/min}$, magnetinio lauko polių porų skaičius $p=3$, vardinis rotorius slydimas $s_N=(n_0-n_N)/n_0=(1000-960)/1000=0,04$, t. y. 4,0%.

11.2 pavyzdys. Iš katalogo žinome, kad to paties variklio (žr. 11.1 pavyzdį) $I_k/I_N=6,5$; $M_k/M_N=1,2$; $\lambda=2,5$. Apskaičiuokime variklio paleidimo srovę ir sudarykime jo mechaninę charakteristiką.

Sprendimai. Iš katalogo duomenų žinome, kad $I_N=12,2 \text{ A}$, kai variklis jungiamas prie 380 V tinklo. Jo paleidimo srovė $I_k=6,5 \cdot 12,2=79,3 \text{ A}$. Apskaičiuokime sūkių dažnį ir sukimo momentus mechaninė charakteristikai sudaryti: 1) ideali tuščioji eiga: $M=0$, $n=n_0=1000 \text{ r/min}$; 2) vardinis režimas: $M_N=54,7 \text{ N} \cdot \text{m}$; $n_N=960 \text{ r/min}$; 3) krizinis režimas: $M_{max}=\lambda M_N=2,5 \cdot 54,7=136,8 \text{ N} \cdot \text{m}$; krizinis slydimas $s_c=s_N(\lambda+\sqrt{\lambda^2-1})=0,04 \cdot (2,5+\sqrt{2,5^2-1})=0,20$; krizinis sūkių dažnis: $n_c=n_0 \cdot (1-s_c)=1000(1-0,20)=800 \text{ r/min}$; 4) paleidimas: $M_k=1,2M_N=1,2 \cdot 54,7=65,6 \text{ N} \cdot \text{m}$; $n=0$.

Mechaninė charakteristikai $n=f(M)$ sudaryti pirmiausia pažymime visus iš katalogo duomenų apskaičiuotus jos taškus (11.24 pav.). Tuščiosios eigos tašką (1) sujungiamo su vardiniu tašku (2) (M_N ; n_N). Tolese charakteristikos daliai nubraižyti iš Klosio lyties (11.40) apskaičiuojame tarpinius kreivės taškus, kurių skaičių pasirenkame atžvelgdam i reikiama tikslumą. Tam reikia pasirinkti slydimų vertes, apskaičiuoti mechaninio momento vertes ir iš (11.8) lyties – sūkių dažnį $n=n_0(1-s)$.

Skaičiavimo rezultatai surašyti 11.2 lentelėje. Pavyzdžiui, charakteristikos taško koordinatės, kai $s=0,08$, buvo apskaičiuotos šitaip. Momentas: $M=2M_{max}/(s/s_c+s_c/s)=2 \cdot 136,8/(0,08/0,20+0,20/0,08)=94,3 \text{ N} \cdot \text{m}$; $n=n_0(1-s)=1000(1-0,08)=920 \text{ r/min}$. Reikia išdėmėti, kad nestabilaus darbo charakteristikos dalies apskaičiuotų

11.2 lentelė. Mechaninės charakteristikos skaičiavimo rezultatai

<i>s</i>	<i>M</i> <i>N·m</i>	<i>n</i> <i>r/min</i>
0,00	0	1000
0,02	27	980
0,04	53	960
0,06	75	940
0,08	94	920
0,10	109	900
0,12	120	880
0,14	128	860
0,16	133	840
0,18	136	820
0,20	137	800
0,24	134	760
0,30	126	700
0,36	116	640
0,40	109	600

taškų koordinačių tikslumas mažesnis, todėl apskaičiuota paleidimo momento vertė M_k yra mažesnė už tikraja. Kuo didesnis kataloginis M_k/M_N , tuo didesnis skirtumas tarp skaiciuotos ir tikrosios M_k vertės. Taip yra todėl, kad pagerintų paleidimo savybių varikliuose paleidimo metu vyksta fiziniai procesai, kurie nebuvo įvertinti, išvedant (11.40) lygtį.

Praktiškai nestabilaus darbo mechaninės charakteristikos dalis (išskyrus paleidimo tašką) dažniausiai mažiau svarbi, todėl ją nubrėšime (žr. 11.24 pav., ištisinė linija), laisvai sujungdami jau sudarytą kreivę su paleidimo taško koordinatėmis $M=M_k$; $n=0$.

11.5.2. Darbo charakteristikos. Taip yra vadinamos įvairių variklio dydžių – M , n , I_1 , η , $\cos \varphi$ – priklausomybės nuo variklio apkrovos koeficiente $\beta=P_2/P_N$ (11.25 pav.).

Didėjant galiai, kuria variklis suka darbo mašiną ($P_2=2\pi nM$), variklio sukimo momentas M didėja, o sūkių dažnis n šiek tiek mažėja. Statoriaus apvijos tuščiosios eigos srovė I_0 , kai $\beta=0$, yra artima savo reaktyviajai dedamajai I_{1N} – įmagnetinimo srovei, kuriančiai statoriaus magnetinį lauką. Ji gana stipri – $(0,3-0,4) I_{1N}$ – dėl didelės oro tarpo magnetinės varžos. Apkrovai didėjant, kaip matėme (žr. 11.4.3), statoriaus apvijos srovė stiprėja.

Variklio naudingumo koeficientas

$$\eta = P_2/P_1 = P_2/(P_2 + P_d); \quad (11.48)$$

čia P_d – nuostolių galia; P_1 – variklio statoriaus apvijos imama iš tinklo aktyvioji galia.

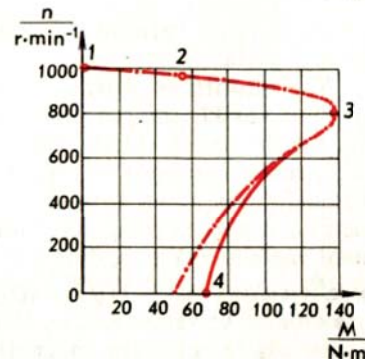
Visų elektros mašinų nuostolius galima suskirstyti į dvi grupes. Vieni jų (magnetiniai, mechaniniai) nuo apkrovos nepriklauso ir yra vadinami **pastoviaisiais** (jų galią pažymėsime P_{dc}). Kiti (elektriniai), didėjant apkrovai, didėja kvadratinė priklausomybė ir yra vadinami **kintamaisiais** (jų galią pažymėsime P_{dv}).

Kai variklis prijungtas prie vardinės įtampos ir nelabai apkrautas, elektriniai nuostoliai yra nedidelis, o magnetiniai ir mechaniniai – vardiniai. Naudingumo koeficientas pagal (11.48) lygybę: $\eta = 1/(1+P_d/P_2) = 1/(1+P_{dc}/P_2 + P_{dv}/P_2)$ yra nedidelis, nes pastoviųjų nuostolių galia yra gana didelė, palyginti su nedidele galia P_2 . Didinant apkrovą, naudingumo koeficientas didėja, kol kintamieji nuostoliai susilygina su pastoviaisiais. Dar labiau apkraunant variklį, kintamieji nuostoliai padidėja tiek, kad naudingumo koeficientas ima mažėti.

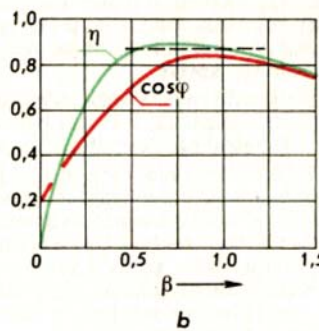
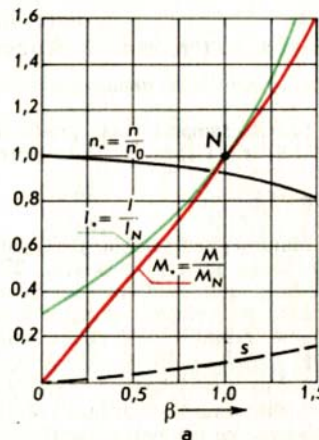
Paprastai elektros mašinos konstruojamos taip, kad naudingumo koeficientas būtų gana didelis, kai $\beta = 0,5-1,0$. Asinchroninių variklių, kurių vardinė galia yra nuo 1 iki 20 kW, vardiniai naudingumo koeficientai esti $0,7-0,9$.

Galios koeficientas

$$\cos \varphi = P_1 / \sqrt{P_1^2 + Q_1^2}; \quad (11.49)$$



11.24 pav. Mechaninė charakteristika, sudaryta iš katalogo duomenų



11.25 pav. Asinchroninio variklio darbo charakteristikos: a – slydimo bei santykinių srovės, momento, sūkių dažnio; b – naudingumo bei galios koeficiente priklausomybė nuo apkrovos koeficiente $\beta = P_2/P_N$

čia P_1 ir Q_1 – variklio statoriaus apvijos aktyvioji ir reaktyvioji galia.

Kai statoriaus apvijos įtampa $U_1 = \text{const}$, $\Phi \approx \text{const}$. Tuomet variklį įmagnetinanti reaktyvioji srovės dedamoji $I_{1a} \approx \text{const}$ ir $Q_1 = U_1 I_{1a} \approx \text{const}$. Esant vardinei įtampai U_{1N} , tuščiosios eigos $\cos \varphi_0 = 0,1 - 0,2$. Galios koeficientas nedidelis, nes $P_2 = 0$ ir variklio aktyviąją galią sudaro magnetinių ir mechaninių nuostolių galia: $P_1 = P_{dc} \leq Q_1$. Didinant variklio apkrovą, dideja $P_1 = U_1 I_{1a}$. Dėl to didėja galios koeficientas $\cos \varphi = 1 / \sqrt{1 + (Q_1/P_1)^2}$. Kai variklio apkrova yra didesnė už vardinę, $\cos \varphi$ šiek tiek sumažėja, nes padidėja statoriaus ir rotoriaus magnetiniai sklaidos srautai. Asynchroninių variklių, kurių galia yra nuo 1 iki 20 kW, vardiniai galios koeficientai yra 0,7–0,9.

Kaip matome, mažai apkrauti asynchroniniu (kaip ir kiti) elektros varikliai yra neekonomiški: jų naudingumo ir galios koeficientai yra maži. Kuo didesnė galia ir greitaeigiskenis variklis, tuo geresni jo ekonominiai rodikliai.

11.5.3. Samprata apie greičio reguliavimą. Rotoriaus sūkių dažnį iš (11.6) ir (11.8) lygių galime užrašyti šaip:

$$n = f(1-s)/p. \quad (11.50)$$

Matome, kad variklio greitį galime reguliuoti keisdami: 1) magnetinio lauko polių porų skaičių; 2) tinklo įtampos dažnį; 3) rotoriaus grandinės varžą (keičiamas krizinis slydymas). Pirmasis būdas taikomas varikliui su trumpai sujungtu rotoriumi, o trečiasis – su faziniu rotoriumi. Trumpai peržvelgsime šiuos būdus.

1. Statoriaus magnetinio lauko polių porų skaičius priklauso nuo apvijos ričių skaičiaus (žr. 11.1.1) ir jų sujungimo schemas. Paprastai viena statoriaus apvijos fazė yra sudaroma iš dviejų ar daugiau daliių, kurias galima sujungti nuosekliai arba lygiagrečiai. Trumpai sujungto rotoriaus magnetinės laukos turi tiek pat polių porų, kiek ir statoriaus, todėl rotoriaus sandaroje jokių pakeitimų daryti nereikia. Varikliui su faziniu rotoriumi šis būdas netaikomas, nes tektų perjunginėti dar ir rotoriaus apviją.

Šis greičio reguliavimo būdas turi tokius trūkumus: 1) greiti galima keisti tik šuoliais (2, 3 ir t. t. kartus); 2) sudėtinga variklio konstrukcija; 3) reikalinga komutacijos aparatūra.

2. Asynchroninio variklio greiti galima keisti prijungiant jo statoriaus apviją prie reguliuojamo dažnio $f = \text{var}$ šaltinio. Jei norime, kad nesikeistų variklio magnetinis srautas $\Phi_m \approx U_1/(4,44/f_1 N_1)$ (žr. (11.27)), reikia palaikyti santykį $U_1/f \approx \text{const}$. Tai reiškia, kad, keičiant dažnį f , proporcionaliai jam reikia keisti statoriaus apvijos įtampą.

Kaip šaltiniai dažniausiai yra naudojami tiristoriniai dažnio keitikliai. Sis būdas perspektyvus ir vis plačiau taikomas praktikoje. Greiti galima reguliuoti sklandžiai.

3. Variklių su faziniu rotoriumi greitis reguliuojamas, keičiant rotoriaus grandinės varžą. Ją didinant keičiasi variklio mechaninė charakteristika: esant tam pačiam sukimo momentui, gaunamas mažesnis rotoriaus sūkių dažnis (žr. 11.23 pav.). Pavyzdžiu, kai variklio sukimo momentas yra M_1 , didinant R_{rs} , rotoriaus sūkių dažnis mažėja nuo n_1 iki n_2 .

Šiuo būdu **greitį galima reguliuoti sklandžiai**. Svarbiausia tokio metodo trūkumai: reguliavimo reostate gaunami dideli energijos nuostoliai, variklio mechaninės charakteristikos, padidinus rotoriaus grandinės varžą, yra minkštios.

Kai kuriais atvejais **greitį galima šiek tiek pareguliuoti, keičiant variklio statoriaus apvijos įtamprą**. Kadangi turi būti $U_1 \leq U_{1N}$, tai įtamprą (ir greitį) galima tik mažinti, lyginant su jos vardine verte. Kaip žinome, $M \sim U_1^2$, todėl sukimo momentas labai sumažėja. Ši būda **galima taikyti mažai apkrautiems varikliams**.

Kaip matome, nors asinchroniniai varikliai turi daug gerų savybių, reguliuoti jų greitį yra gana keblu. Tai ir yra vienas didžiausių šių variklių trūkumų.

11.6

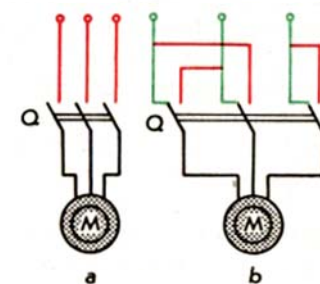
Asinchroninių variklių paleidimas

11.6.1. Tiesioginis prijungimas prie tinklo. Dauguma asinchroninių variklių su trumpai sujungtu rotoriumi prie trifazio tinklo prijungiami tiesiogiai (11.26 pav.). Tam gali būti panaudoti kirtikliai arba automatinio valdymo aparatūra.

Pakeisti variklio sukimosi kryptį (ji reversuoti) galima, pakeitus magnetinio lauko sukimosi kryptį (žr. 11.1.1). Variklio rotorius sukasi magnetinio lauko sukimosi kryptimi, t. y. priešinga buvusiai.

Kaip žinome (žr. 11.3.4), pradiniu paleidimo laikotarpiu rotoriaus ir statoriaus apvijų srovės yra didžiausios. Daugumos variklių paleidimo srovė $I_k/I_N = 5 - 7$. Varikliui išsisukant, mažėja skirtumas tarp magnetinio lauko ir rotoriaus sūkių dažnių $n_0 - n$. Mažėjant slydimui, silpnėja rotoriaus, taip pat ir statoriaus apvijų srovės. Variklio sukimo momentas kinta nuo vertės M_k iki M_{max} , po to mažėja (žr. 11.21 pav.), kol susilygina su darbo mašinos pasipriešinimo momentu. Toliau variklio darbo režimas nusistovi, ir, jei apkrovos momentas nekinta, variklis suka darbo mašiną pastoviu sūkių dažniu $n = \text{const}$.

Paleidimo metu statoriaus ir rotoriaus grandinėse išskiriama daug šilumos. Ji nėra varikliui pavojinga; jei paleidimas trunka ne pernelyg ilgai. Paleidimo trukmė priklauso nuo variklio paleidimo momento M_k ir darbo mašinos statinio pasipriešinimo momento skirtumo. Paprastai paleidimo trukmė esti nuo kelių iki keliolikos sekundžių, ir tik ypatingais atvejais paleidimas gali trukti kelias dešimtis sekundžių. Net ir uždelsto paleidimo srovės varikliui nepavojinges, jei tik tokie paleidimai nėra labai dažni. Nedidelės galios (3–10 kW) asinchroninius variklius galima paleisti viškai apkrautus, jungiant juos tiesiogiai į tinklą, 5–10 kartų per valandą.



11.26 pav. Asinchroninio variklio tiesioginio jungimo prie tinklo schemas: a – paleidimo viena kryptimi, b – reversinė

Antra vertus, tinklams elektros energiją tiekia transformatoriai, kurių galia yra ribota. Įmonėse gali būti vienas kitas labai galingas variklis, kurio galia artima transformatoriaus galiai. Paleidžiant tokį variklį, transformatoriaus antrine apvija teka srovė, keliis kartus stipresnė už vardinę. Dėl to transformatoriaus antrinė, tuo pačiu ir variklio statoriaus įtampa gali sumažėti iki 60–70% vardinės vertės. Dėl to sumažėja paleidimo momentas, ir paleidimas gali užsištesti. Jei variklio paleidimo momentas nėra didelis, pavyzdžiu, $M_k = (1,0 - 1,2)M_N$, o paleidimo metu apkrova yra vardinė, variklis gali netgi visai nepradėti suktis.

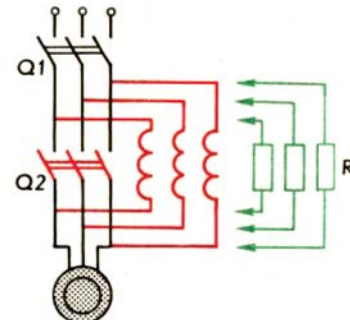
Kai prie to paties tinklo yra prijungta ir daugiau imtuvių, toks įtampos sumažėjimas gali sutrikdyti jų normalų darbą. Pavyzdžiu, kaitinimo lempų šviesos srautas labai priklauso nuo įtampos, ir dėl tinklo įtampos sumažėjimo paleidžiant variklius jos pastebimai prigesta. Kad nebūtų tokios neigiamos paleidimo įtakos kitiems imtuviams, reikia, kad transformatorių galios atsarga būtų pakankama, o jautrūs įtampos svyrazimams imtuvių būtų jungiami prie atskiro tinklo. Jei šiuo salygų ivykdyti negalima, reikia vietoj variklio su trumpai sujungtu rotoriumi parinkti variklį su faziniu rotoriumi. Pastarojo paleidimo srovę galima reguliuoti.

Reikia pastebėti, kad šiuolaikiniai tinklai paprastai yra pakankamai galingi, todėl beveik visada galima tiesiogiai paleisti asynchroninius variklius su trumpai sujungtu rotoriumi, kurių galia siekia net tūkstančius kilovatų.

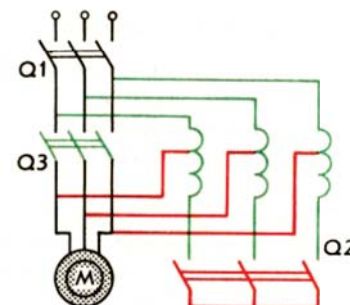
11.6.2. Statoriaus apvijos įtampos mažinimas. Variklių su trumpai sujungtu rotoriumi paleidimo srovę galima susilpninti, mažinant variklio statoriaus apvijos įtampą. Kadangi variklio sukimo momentas $M \sim U_1^2$, tai jo paleidimo momentas tokiu atveju labai sumažėja. Dėl to ši priemonė taikoma tik galingiem, dažniausiai aukštos įtampos varikliams, kurie paleidžiami visai neapkrautu arba nelabai apkrauti.

Pateiksime keliis būdingesnius pavyzdžius (11.27 pav.). Paleidžiant variklį su induktivumo ritėmis (arba rezistoriais) statoriaus grandinėje, kirtiklis $Q1$ turi būti sujungtas, o $Q2$ – atjungtas. Srovė teka ritėmis, todėl jose gaunamas įtampos kritimus. Statoriaus apvijai tenka mažesnė įtampa, ir ja teka silpnesnė srovė. Varikliui iisisukus, sujungiamas kirtiklis $Q2$, kuriuo ritės trumpai sujungiamos, todėl, kai variklis dirba, jomis srovė neteka.

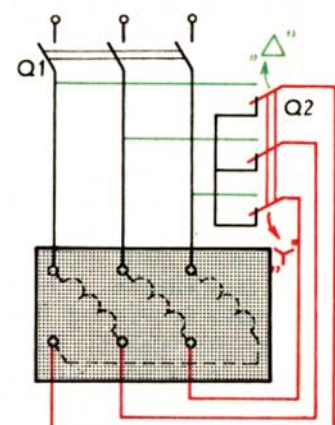
Variklio paleidimui galima panaudoti specialų autotransformatorij. Paleidimo metu sujungiami kirtikliai $Q1$ ir $Q2$. Variklio statoriaus apvijai tenka sumažinti įtampa – dalis tinklo įtampos. Varikliui šiek tiek iisisukus, $Q2$ atjungiamas. Statoriaus apvija ijjungiamasi į tinklą nuosekliai su autotransformatoriaus pirminės apvijos dalimis, kurios tampa induktiviosiomis ritėmis statoriaus grandinėje. Varikliui iisisukus iki tam tikro greičio, kirtiklis $Q3$ sujungiamas. Statoriaus apvija prijungiamasi prie visos tinklo įtampos, o autotransformatoriaus apvijomis srovė nebeeteke.



a



b



c

11.27 pav. Variklio paleidimo schemas: a – su induktivumo ritėmis arba rezistoriais, b – su autotransformatoriumi, c – perjungiant statoriaus apviją iš γ į Δ

Ir induktyvumo ritės, ir autotransformatoriai veikia tik palyginti trumpą laiką, o jiems įrengti reikalingos papildomos išlaidos.

Kai variklio statorius apvija darbu prie tinklo jungiamą Δ , jos įtampa galima sumažinti, paleidimui sujungus ją γ . Tokiu atveju vienai variklio fazei įtampa sumažinama $U_1/U_f = \sqrt{3}$ karto. Variklio paleidimo momentas sumažėja $(\sqrt{3})^2 = 3$ kartus, paleidimo srovė variklio apvijose susilpnėja $I_{f\Delta}/I_{f\gamma} = (\sqrt{3} U_f/Z_f)/(U_f/Z_f) = \sqrt{3}$ karto. Linijinė tinklo srovė – $I_{f\Delta}/I_{f\gamma} = \sqrt{3} (\sqrt{3} U_f/Z_f)/(U_f/Z_f) = 3$ kartus. Šis būdas taikomas tik žemos įtampos varikliams paleisti ir palyginti retai, nes paleidimo metu tenka nutraukti variklio statorius grandinę, gaunami virštampiai dėl pereinamųjų procesų statorius apvijoje.

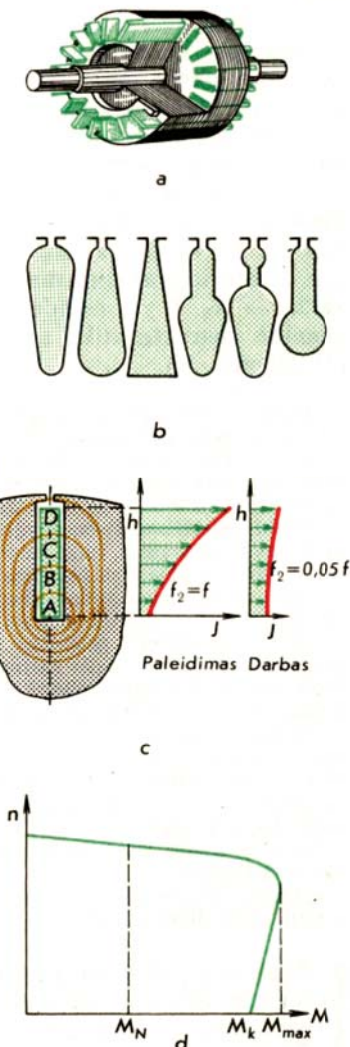
11.6.3. Pagerintų paleidimo savybių varikliai. Kaip matėme (žr. 11.23 pav.), asynchroninio variklio mechaninės charakteristikos pobūdis priklauso nuo rotoriaus grandinės aktyviosios varžos. Kad variklis normaliai veiktu, jি turi būti kuo mažesnė. Tuomet variklio mechaninė charakteristika yra kieta, slydimas mažas, todėl ir galios nuostoliai rotoruje mažesni (žr. (11.34) ir (11.35)), variklis ekonomiškesnis. Antra vertus, tam, kad būtų didesnis variklio paleidimo momentas, reikia, kad jo rotoriaus varža būtų didesnė.

Pagerintų paleidimo savybių varikliai yra ypatingi tuo, kad jų trumpai sujungto rotoriaus aktyviosios varžos paleidimo metu yra didesnė, o varikliui įsisukant savaime sumažėja. Vienas iš tokių yra variklis su **giliais rotoriaus grioveliais**. Jo rotoriaus apvijos laidininkai yra pailgo skerspjūvio ir sukloti giliuose (jų gylis keletą kartų didesnis už plotį) grioveliuose (11.28 pav., a ir b). Tokio laidininko varžos pasikeitimą, varikliui įsisukant, galima paaiškinti **paviršiaus efektu**.

Tarkime, kad apvijos laidininką padalijome į keturis vienodo ilgio ir skerspjūvio laidininkus A , B , C , D (11.28 pav., c). Jų aktyviosios varžos $R = \rho l/S$ yra vienodos: $R_A = R_B = R_C = R_D$. Sukamasis magnetinis laukas indukuoja juose vienodas EVJ.

Tekant laidininkais srovei, apie kiekvieną iš jų susikuria magnetinis skaidos laukas, kurio linijos gaubia kiekvieną laidininką. Kadangi rotoriaus šerdis yra feromagnetinė, magnetinio lauko linijos išsiesto taip, kad magnetinės grandinės varža būtų mažiausia. Dėl to A laidininką gaubia didžiausias magnetinio lauko linijų skaičius, ir magnetinis srautas Ψ_A yra didžiausias: $\Psi_A > \Psi_B > \Psi_C > \Psi_D$. Prisiminę, kad induktyvumas $L = \Psi/i$ (žr. (2.17)), matome, kad arčiau centro esančio A laidininko induktivijosios varža $X_A = 2\pi f_s L_A$ yra didžiausia: $X_A > X_B > X_C > X_D$. Tuo pačiu ir pilnuitinė laidininko A varža didžiausia: $Z_A > Z_B > Z_C > Z_D$. Iš Omo dėsnio žinome, kad srovė yra atvirksčiai proporcinga varžai. Tai reiškia, kad A laidininku teka silpniausia srovė. Kitaip tariant, srovės tankis arčiau rotoriaus centro esančiose apvijos strypo dalyse yra mažesnis negu išorinėse: $J_A < J_B < J_C < J_D$.

Toks srovės „ištūmimas“ į strypo išorinį kraštą yra lygiavertis strypo skerspjūvio sumažinimui, nes ne visas jo skerspjūvio plotas išnaudojamas. Dėl to padidėja rotoriaus apvijos aktyviosios varžos.



11.28 pav. Variklio su giliais rotoriaus grioveliais rotoriaus bendras vaizdas (a), griovelii ir laidininkų skerspjūvio formos (b), rotoriaus laidininko magnetinis skaidos srautas ir srovės tankio pasiskirstymas (c), mechaninė charakteristika (d)

Paviršiaus efektas pasireiškia tuo stipriaus, kuo yra didesnis rotorius srovės dažnis f_2 , o jis nevienodas variklio paleidimo ir darbo metu. Varikli paleidžiant, $f_2 = f$ ir yra didžiausias, todėl paviršiaus efektas yra stipriausias, ir rotorius apvijos aktyvioji varža R_{2k} – didžiausia. Dėl to gauamas didelis paleidimo momentas M_k .

Varikliui įsisukant, $s \rightarrow 0$, $f_2 \rightarrow 0$. Varikliui normaliai veikiant f_2 yra labai mažas ($1,0 - 3,5$ Hz), todėl galima laikyti, kad induktyviosi varža $X_2 \approx 0$. Paviršiaus efektas nepasireiškia, ir rotorius apvijos varža yra lygi mažiausiai aktyviajai varžai – R_2 . Ji yra nedidelė, todėl variklio natūralioji mechaninė charakteristika stabilaus darbo srityje yra kieta (11.28 pav., d).

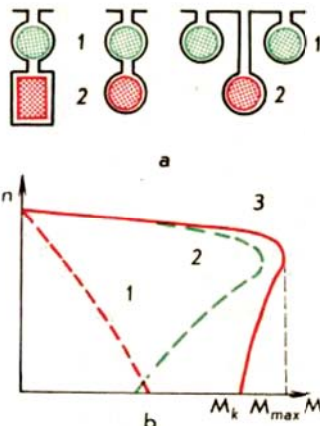
Panašūs reiškiniai vyksta rotoriuje, kuriame yra dvi trumpai su jungtos narvelio tipo apvijos (11.29 pav.). Jas salygiškai pavadinsime paleidimo (1) ir darbo (2). Paleidimo apvija gaminama iš žalvario ar bronzos, o darbo apvija yra varinė, todėl paleidimo apvijos aktyvioji varža paprastai esti 2–4 kartus didesnė nei darbo.

Varikli paleidžiant darbo apvijos laidininkus gaubia didesnis magnetinis sklaidos srautas, todėl jos induktyviosi varža padidėja tiek, kad darbo apvija, lyginant su paleidimo apvija, teka silpna srovė. Sukimo momentu sudaro magnetinio lauko ir paleidimo apvija tekancios srovės sąveika. Tuo būdu paleidimo metu rotorius apvijos varža yra didesnė ir atitinkamai didesnis paleidimo momentas. Darbo metu, kai $f_2 \approx 0$, paleidimo apvija teka kelis kartus silpnės srovės nei darbo apvija, todėl paleidimo apvija didelės įtakos neturi. Galime laikyti, kad rotorius apvijos varža yra artima darbo apvijos varžai, t. y. mažesnė.

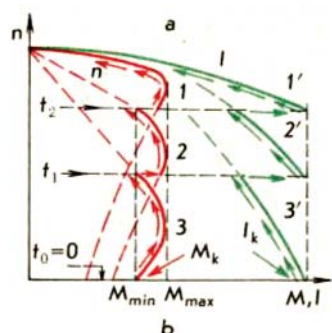
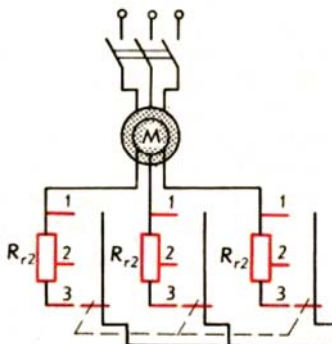
Variklio mechaninę charakteristiką sudarysime, nagrinėdami atskirų apvijų veikimą. Jei variklis turėtų tik paleidimo apviją, jo mechaninė charakteristika būtų 1 kreivė; jei tik darbo apvija – 2 kreivė. Kadangi abi apvijos sukuria sukimo momentus, tikrasis variklio sukimo momentas yra lygus jų sumai. Variklio mechaninė charakteristika yra 3 kreivė. Matome, kad paleidimo apvijos įtaka variklio charakteristikai jo stabilius darbo srityje yra labai maža. Paleidimo metu (kol $n < n_c$) variklio sukimo momentas didesnis ir galima daugiau perkrantu varikli, nes didesnis M_{max} .

Pagerintų paleidimo savybių varikliai ne tik turi didesnius paleidimo momentus. Kadangi paleidimo metu rotorius varža padidėja, rotorius ir statorius apvijų srovės néra pernelyg stiprios. Matome, kad šie varikliai turi iš karto dvi geras savybes: padidintą paleidimo momentą ir susilpnintą paleidimo srovę. (Paprastai $M_k/M_N = 1,8 - 2,2$, o $I_k/I_N = 4 - 6$.) Kadangi tokie rotorius sandaros pakeitimai néra labai sudėtingi (ypač tai liečia gilius griovelius), dauguma didesnės nei 0,5 kW galios variklių yra pagerintų paleidimo savybių.

11.6.4. Variklis su faziniu rotoriumi. Tokių variklių paleidimo momentas padidinamas, o paleidimo srovė susilpninama, įjungiant į rotorius grandinę šuoliais reguliuojamos varžos reostatą (11.30 pav.). Kaip žinome, didinant (iki tam



11.29 pav. Rotorius paleidimo (1) ir darbo (2) apvijų laidininkai (a) ir variklio mechaninės charakteristikos (b), esant: tik paleidimo apvijai (1), tik darbo apvijai (2), ir tikroji (3)



11.30 pav. Variklio su faziniu rotoriumi paleidimo schema (a), mechaninės charakteristikos (1, 2, 3) ir paleidimo srovės kitimas (1', 2', 3') (b)

tikros vertės) rotorius grandinės aktyviąjį varžą (žr. 11.4.4), pasikeičia variklio mechaninė charakteristika: M_{\max} lieka tokis pat, o M_k didėja.

Tarkime, kad pradiniu paleidimo laikotarpiu rotorius grandinės aktyvioji varža didžiausia (reostato 3 padėtis). Variklio $n=f(M)$ yra 3 kreivė. Laikotarpiu t_0-t_1 variklis palaiapsniui įsisuka; jo momentas ir sūkių dažnis kinta taip kaip rodo 3 kreivė. Varikliui šiek tiek įsisukus, jo momentas sumažėja iki M_{\min} . Laiko momentu t_1 perkelkime šuoliu reostato slankiklį į 2 padėtį. Variklio mechaninė charakteristika dabar yra jau 2 kreivė. Variklio sūkių dažnis staiga pakisti negali, o sukimasis pakinta staigiai. Toliau n ir M kinta taip, kaip rodo 2 kreivė, kol, momentui sumažėjus iki M_{\min} (laiko momentas t_2), rotorius reostato slankiklis šuoliu perjungiamas į 1 padėtį. Reostato varža $R_{r2}=0$, variklio $n=f(M)$ yra natūralioji – 1 kreivė.

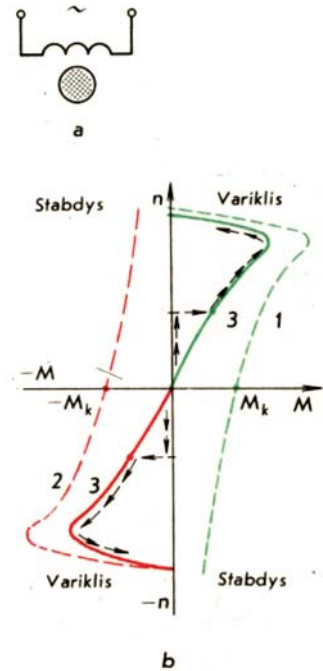
Kadangi paleidimo metu yra susilpninama rotorius apvijos srovė, susilpnėja ir statoriaus apvijos srovė (žr. 11.30 pav., b, kreives 3', 2', 1'). Rotorius grandinės varžai keisti dažniausiai yra naudojama automatinio valdymo aparatūra (žr. 13.8.5).

11.7

Vienfaziai asinchroniniai varikliai

Tai asinchroniniai varikliai, kurių statoriaus apvija jungiamą prie vienfazio tinklo, o rotorius yra trumpai sujungtas. Jie ypač plačiai taikomi buityje ir automatikoje. Dažniausiai jų galia esti iki kelių šimtų vatų. Energetiniai vienfazių variklių rodikliai yra blogesni nei trifazių: tų pačių matmenų ir masės vienfazis variklis paprastai turi 50–60% trifazio variklio vardinės galios.

11.7.1. Variklis su vienfaze apvija. Tokio variklio **statoriai yra tik viena ritė** (11.31 pav.). Prijungus ją prie vienfazio tinklo, sukuriamas erdvėje nejudantis, bet pulsuojančis magnetinis laukas. Kaip žinome (žr. 11.1.3), tokį magnetinį lauką galima pakeisti dvemis vienodos magnetinės indukcijos besisukančiais tuo pačiu greičiu, bet priešingomis kryptimis, magnetiniais laukais. Nubraižysime variklio mechanines charakteristikas: pirmają, kurią jis turėtų, jei būtų tik viena kryptimi besisukantis magnetinis laukas (pavadinime ji tiesioginiu), ir antrają, kurią variklis turėtų, jei būtų tik priešinga kryptimi besisukantis (atvirkštinius) magnetinis laukas. Pratęsime jas kiek toliau, negu braižėme anksčiau, parodydami $n=f(M)$, kai variklis dirba priešinio jungimo stabdymo režimu (žr. 11.20 pav., b).



11.31 pav. Asinchroninio variklio su vienfaze statoriaus apvija schema (a) ir mechaninės charakteristikos sudarymas (b)

Tikroji variklio mechaninė charakteristika gaunama sudedant mechaninius momentus, kuriuos turėtu rotorius dėl kiekvieno magnetinio lauko poveikio, esant tam tikram sūkių dažniui. Matome, kad gautoji 3 kreivė yra panaši į asinchroninio variklio mechaninę charakteristiką, bet ji eina per koordinaciją ašių susikirtimo tašką. Tai reiškia, kad kai $n=0$, variklio paleidimo momentas $M_k=0$. Ijungtas į tinklą variklis negali pradėti suktis, nes abu laukai sudaro du lygius, bet priešingų krypčių sukimo momentus.

Tarkime, kad įsukome variklio rotorių kuria nors kryptimi. Mechaninių momentų simetrija suvera. Ta kryptimi variklio sukimo momentas padidėja ir, jei jis yra didesnis už pasipriešinimo momentą, rotorius sūkių dažnis didėja. Darbo taškas patenka į charakteristikos stabilaus darbo sritį; variklis normaliai dirba. Variklį atjungus, jis nustoja suktis ir, kad galėtume jį paleisti, rotorių reikia vėl įsukti. **Variklis vienodai paleidžiamas tiesioginio ar atvirkštinio magnetinio lauko kryptimi.**

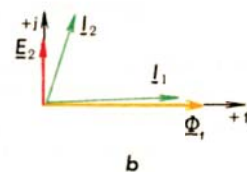
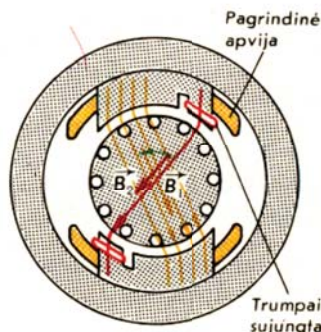
Suprantama, kad tokis variklio paleidimo būdas nėra patogus. Geriau padažyti šiek tiek sudėtingesnės sandaros vienfazį variklį, kurio paleidimo momentas $M_k > 0$. Toks yra **ekranuotų polių variklis**, kurio statoriaus apvija uždėta ant polių (11.32 pav.). Dalis poliaus yra įskelta, ir ant tos dalies uždėta trumpai sujungta vija — laidininko žiedas. Pagrindinių polių magnetinis srautas Φ_1 yra kintamasis. Jo dalis veria trumpai sujungtą viją ir joje indukuoja EVJ e_2 , kuri pralenkia 90° fazę į kuriantį magnetinį srautą. Kadangi trumpai sujungtos vijos varža yra maža, ja teka gana stipri srovė i_2 . Turime dvi išskirtas erdvės ritės (pagrindinę apviją ir trumpai sujungtą), kuriose srovės skiriasi beveik 90° fazė. **Gaunamas sukamas magnetinis laukas.** Kadangi ričių ašys nestatmenos ir jų MVJ nevienodos, magnetinio lauko indukcija dažniausiai nėra pastovi, tačiau variklis sukuria, nors ir nedidelį, bet praktiškai dažnai pakankamą paleidimo momentą $M_k = (0,2 - 0,5)M_N$.

Ekranuotų polių variklių naudingumo koeficientas tik $0,25 - 0,4$. Paprastai jų galia — nuo vato dalijų iki $20 - 30$ W.

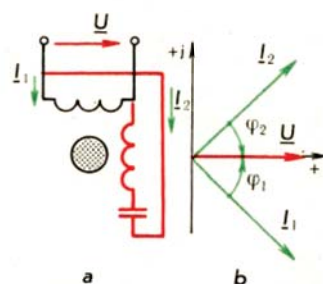
11.7.2. Variklis su dvifaze apvija.

Tai asinchroninis variklis, kurio **statoriuje yra dvi ritės, išdėstytos statmenai viena kitai** (11.33 pav.). Kaip žinome (žr. 11.1.2), tokio variklio statoriuje **gaunamas sukamas magnetinis laukas**, jei jo ritėmis teka srovės, besiskiriančios 90° fazė. Šį fazų skirtumą galime gauti, prijungę vieną ritę prie tinklo nuosekliai su kondensatoriumi.

Praktiškai antrają statoriaus apvijos ritę, rotoriui įsi-
sukus, būtų galima atjungti, nes, suteikus paleidimo momen-
tam, variklis gali suktis. Jei antroji ritė yra skiriama tik palei-



11.32 pav. Vienfazio ekranuotų polių variklio sandara (a) ir vektorinė diograma (b)

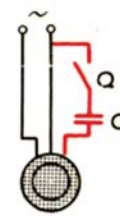


11.33 pav. Vienfazio variklio su dvifaze statoriaus apvija schema (a) ir srovų vektorinė diograma (b)

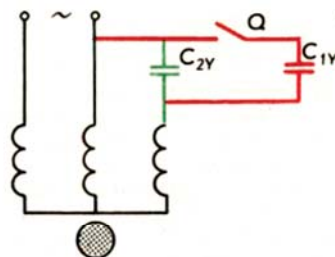
dimui, ji vadinama paleidimo apvija ir apskaičiuojama trum-palaikiam darbui. Paleidimui reikalingas kondensatorius, kurio reaktyvioji galia yra lygi variklio pilnuitinei galiai. Kondensatoriai paprastai naudojami tais atvejais, kai reikalingas didelis paleidimo momentas.

Vietoj kondensatoriaus nuosekliai paleidimo apvijai gali būti jungiamas rezistorius. Tuomet variklio paleidimo apvija pagaminama taip, kad jos induktyvioji varža būtų labai maža. Tuo siekiama gauti kuo didesnį fazinių skirtumą tarp apvijos ričių srovės, bet jis negali būti lygus 90° .

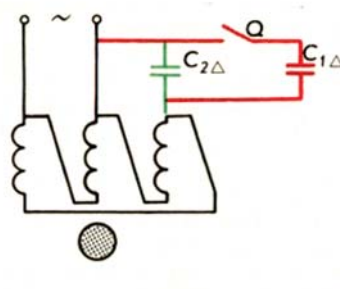
Gali būti, kad abi variklio statoriaus ritės yra apskaičiuotos ilgalaikiam darbui ir nė vienos atjungti nereikia, kai variklis dirba. Viena ritė nuosekliai sujungama su kondensatoriumi, todėl tokie varikliai vadinami **kondensatoriniai**. Jų ekonominiai rodikliai geresni, negu vienfazinių variklių su paleidimo apvija, ir panašūs į trifazinių variklių.



a



b



c

11.7.3. Trifazis variklis vienfaziame tinklo. Trifazij variklį galima prijungti prie vienfazio tinklo, panaudojus vieną jo statoriaus apvijos fazę kaip paleidimo apviją (11.34 pav., a). Variklį paleidus, fazę su paleidimo kondensatoriumi ar rezistoriumi galima atjungti. Variklio vardinė galia sudaro tik 40–50% vardinės trifazio variklio, prijungto prie trifazio tinklo, galios.

Kai reikia turėti didesnį sukimo momentą, naudingumo ir galios koeficientą, kondensatorius paliekamas ijjungtas ir varikliui dirbant. Kadangi variklio paleidimui reikalingas didesnės talpos kondensatorius, o darbui — mažesnės, paprasta i yra prijungiami du (11.34 pav., b ir c): paleidimo metu ijjungiami abu kondensatoriai — C_1 ir C_2 , o darbui paliekamas tik C_2 . Kondensatoriaus talpa priklauso nuo variklio statoriaus sujungimo būdo ir gali būti apskaičiuojama mikrofaradais šiataip:

$$C_1 = (2,5 - 3,0) C_2; \quad C_{2Y} = 2800 \text{ I}/U; \quad C_{2\Delta} = 4800 \text{ I}/U; \quad (11.51)$$

čia I — fasinė srovė amperais, U — fasinė įtampa voltais.

11.34 pav. Trifazio variklio jungimo prie vienfazio tinklo schemas: a — γ arba Δ su vienu atjungiamu kondensatoriumi, b — γ ir c — Δ su paleidimo ir darbo kondensatoriais

Kontroliniai klausimai ir užduotys

11.1. Paaiškinkite, kas tai yra:

- trifazė statoriaus apvija;
- statorius, rotorius;
- trumpai sujungtas rotorius;
- fazinis rotorius;
- rotorius su giliais grioveliais;
- trifazis, dvifazis, vienfazis variklis;
- sukamasis magnetinis laukas;
- pulsuojantis magnetinis laukas;
- sinchroninis greitis;
- slydimas, kritinis slydimas, vardinis slydimas.

11.2. Kaip sudaroma trifazio asinchroninio variklio statoriaus apvija? Kaip ji jungiama į tinklą?

11.3. Kaip gaunamas trifazis sukamas magnetinis laukas stato- riaus apvijoje, sudarytoje iš trijų ričių? Kiek jis turi polių porą? Kokia jo indukcija? Koks sūkių dažnis?

11.4. Kaip trifazėje statoriaus apvijoje gaunamas dviejų polių porą sukamas magnetinis laukas? Kiek statoriaus apvija turi turėti ričių? Kaip jas reikia sujungti?

11.5. Kokia kryptimi sukasi trifazės apvijos magnetinis laukas? Kaip pakeisti jo sukimosi kryptį? Pateikite pavyzdžių.

11.6. Parašykite formulę sinchroniniam sūkių dažniui apskaičiuoti. Koks sūkių dažnis, kai $f=50$ Hz ir $p=1; 2; 3; 4$?

11.7. Kaip sudaroma dvifazė statoriaus apvija? Prie kokio tinklo ir kaip ji jungiama? Kaip joje sudaromas sukamas magnetinis laukas? Kaip pakeisti jo sukimosi kryptį? Pateikite pavyzdžių.

11.8. Parašykite formulę dvifazio magnetinio lauko sinchroniniam sūkių dažniui apskaičiuoti. Kokia kryptimi jis sukasi?

11.9. Kaip sudaromas pulsuojantis magnetinis laukas vienfazėje apvijoje? Kokais dviem sukamaisiais laukais galima jį pakeisti?

11.10. Nubraižykite schemą asinchroninio variklio veikimo principių aiškinti. Aiškindami nuosekliai atsakykite į šiuos klausimus: a – kodėl indukuojama EVJ rotorius apvijos laidininkuose; b – kokios krypties ta indukuota EVJ ir kodėl; c – kodėl gali tekėti srovė rotorius apvija; d – kokios krypties ta srovė ir kodėl; e – kodėl rotorius laidininkus veikia elektromagnetinė jėga ir kokios ji krypties?

11.11. Koks turi būti rotorius laidininkų greitis magnetinio lauko atžvilgiu, kad rotorius veiktu sukimo jėgos? Jei įsuktume rotorius iki sinchroninio greičio: a – kokia EVJ būtų indukuojama apvijos laidininkuose; b – kokia jėga veiktu rotorius? Kodėl?

11.12. Kaip apskaičiuojamas slydimas? Kokia jo fizinė prasmė? Kam lygus slydimas, kai rotorius: a – nejuda; b – sukasi vardinu greičiu; c – sukasi sinchroniniu greičiu?

11.13. Koks vardinis slydimas variklio, kurio dviejų polių porą statoriaus apvija prijungta prie pramoninio dažnio tinklo ir kurio vardinis sūkių dažnis lygus 1420 r/min?

11.14. Koks sinchroninis sūkių dažnis vienos polių poros magnetinio lauko, jei statoriaus apvija prijungta prie pramoninio dažnio tinklo ir variklio vardinis sūkių dažnis 2940 r/min?

11.15. Kiek polių porų turi magnetinis laukas variklio, kuris prijungtas prie pramoninio dažnio tinklo ir kurio vardinis sūkių dažnis 960 r/min?

11.16. Kokie procesai vyksta asinchroninėje mašinoje, kai $n > n_0$? Koks tai režimas? Kodėl? Aiškindami laikykitės 11.10 klausime nurodyto nuoseklumo.

11.17. Kokie procesai vyksta asinchroninėje mašinoje, kai $s > 1$? Koks tai režimas? Kodėl? Aiškindami laikykitės 11.10 klausime nurodyto nuoseklumo.

11.18. Kaip išdėstomi trifazio asinchroninio variklio statoriaus apvijos išvadai? Kaip reikia juos sujungti, norint variklį prijungti prie tinklo: a – žvaigžde; b – trikampiu?

11.19. Kaip sudarytas asinchroninio variklio rotorius: a – trumpai sujungtas; b – fazinis? Kokius privalumus ir trūkumus turi variklis su vienokiui ir kitokiu rotoriumi?

11.20. Kas sudaro asinchroninio variklio magnetinę grandinę? Kaip nuo jos oro tarpo priklauso mašinos techniniai ir ekonominiai parametrai? Kodėl?

11.21. Kuo panašūs ir kuo skirtinti elektromagnetiniai reiškiniai, vykstantys asinchroniniame variklyje ir transformatoriuje? Kodėl?

11.22. Parašykite formules apvijos (vienos fazės) EVJ apskaičiuoti: a – transformatoriaus pirminės ir antrinės; b – asinchroninio variklio statoriaus ir rotorius. Paaiškinkite jas.

11.23. Parašykite rotoriaus apvijos EVJ dažnio formulę. Apskaičiuokite f_2 esant slydimui $s=1; s_N$; 0 ir $f_1=50$ Hz.

11.24. Parašykite rotoriaus apvijos EVJ formulę. Kaip kinta E_2 kintant slydimui $s=1; s_N; 0$?

11.25. Kaip susidaro asinchroninio variklio sklaidos magnetiniai srautai? Kokia statoriaus ir rotoriaus apvijų varžą jie sudaro ir kaip?

11.26. Parašykite statoriaus ir rotoriaus apvijų sklaidos induktiviosios varžos išraiškas. Kaip kinta X_2 kintant slydimui $s=1; s_N; 0$?

11.27. Parašykite srovės išraišką pagal Omo dėsnį rotoriaus apvijos grandinei. Nubraižykite tos srovės apskritiminę diagramą. Paaiškinkite kaip kinta rotoriaus apvijos varža ir jos pobūdis varikliui įsisukant?

11.28. Kodėl didelė asinchroninio variklio paleidimo srovė? Parašykite statoriaus ir rotoriaus apvijų srovų lygtį. Nubraižykite srovų vektorinę diagramą. Kokiai sąlygai esant ir kodėl galima laikyti, kad variklio magnetinis srautas pastovus?

11.29. Kokie yra asinchroninių variklių energijos nuostoliai ir nuo ko jie priklauso? Ar priklauso je nuo slydimo? Parašykite variklio naudingosios galios formulę.

11.30. Nuo ko priklauso variklio sukimo momentas? Pasiremdamis srovės I_A apskritimine vektorine diagrama nubraižykite $M=f(s)$ ir paaiškinkite.

11.31. Nubraižykite asinchroninio variklio natūraliąjį mechaninę charakteristiką. Pažymėkite būdinguosius jos taškus ir paaiškinkite.

11.32. Kaip susireguliuoja asinchroninės variklis kintant jo apkrovai stabilaus darbo mechaninės charakteristikos srityje? Kas vyksta, kai darbo taškas patenka į nestabilaus darbo mechaninės charakteristikos srity?

11.33. Kaip priklauso variklio sukimo momentas nuo statoriaus apvijos įtampos? Kaip į tai reikia atsižvelgti praktiškai?

11.34. Kaip priklauso variklio su faziniu rotoriumi mechaninė charakteristika nuo varžos rotoriaus grandinėje? Nubraižykite mechaninės charakteristikas esant įvairaus didumo rotoriaus apvijos varžai ir paaiškinkite.

11.35. Kokie svarbiausi asinchroninio variklio paso duomenys? Apskaičiuokitevardinįsukimo momentą, jei žinoma, kad vardinė variklio galia 7,5 kW, vardinis sčiukliaus dažnis 1440 r/min. Kaip reikia jungti tokį variklį į standartinį pramoninį tinklą Lietuvoje, jei pase įrašyta: $\Delta/Y, 220/380$ V?

11.36. Kokius asinchroninius variklius galima paleisti jungiant tiesiog į tinklą? Kokios priemonės naudojamos asinchroninių variklių statoriaus apvijos įtampani mažinti? Koks visų tokių schemų trūkumas?

11.37. Kokie reiškiniai vyksta pagerintu paleidimo savybių varikliuose paleidimo ir darbo metu? Kodėl jie turi didelę įtaką rotoriaus apvijos srovei paleidimo metu ir nepakeičia darbo srovės?

11.38. Kodėl vienos apvijos vienfazis variklis prijungtas prie tinklo pats suktis nepradeda, o suteikus pradinį momentą – sukasi? Sudarykite mechanines charakteristikas ir paaiškinkite.

11.39. Kaip sudarytas ekrano uotų poliių variklis? Kokia trumpai sujungtos vijos paskirtis? Koks jo veikimo principas?

11.40. Kaip veiks trifazis asinchroninis variklis, jei išsilydė vienos fazės saugiklis: a – darbo metu; b – paleidžiant? Kodėl?

11.41. Kaip galima prijungti trifazij asinchroninių variklių prie vienfazio tinklo? Kodėl jis sukasi? Kiek jis galima apkrauti?